

Archeo-rapport 136

De archeologische begeleiding langs de Peerderbaan te Neerpelt



Michiel Steenhoudt & Maarten Smeets (red.)

Kessel-Lo, 2012
Studiebureau Archeologie bvba

Archeo-rapport 136

De archeologische begeleiding langs de Peerderbaan te Neerpelt

Michiel Steenhoudt & Maarten Smeets (red.)

**Kessel-Lo, 2012
Studiebureau Archeologie bvba**



Colofon

Archeo-rapport 136

De archeologische begeleiding langs de Peerderbaan te Neerpelt

Opdrachtgever:	Gemeente Neerpelt
Projectleiding:	Maarten Smeets
Leidinggevend archeoloog:	Michiel Steenhoudt
Redactie:	Michiel Steenhoudt Maarten Smeets
Foto's en tekeningen:	Studiebureau Archeologie bvba (behalve figuren 1 t.e.m. 11)

Op alle teksten, foto's en tekeningen geldt een auteursrecht. Zonder voorafgaandelijke schriftelijke toestemming van Studiebureau Archeologie bvba mag niets uit deze uitgave worden vermenigvuldigd, bewerkt en/of openbaar gemaakt, hetzij door middel van webpublicatie, druk, fotokopie, microfilm of op welke andere wijze ook.

D/2012/12.825/49

Studiebureau Archeologie bvba

Jozef Wautersstraat 6

3010 Kessel-Lo

www.studiebureau-archeologie.be

info@studiebureau-archeologie.be

tel: 0474/58.77.85

fax: 016/77.05.41

©2012, Studiebureau Archeologie bvba

Inhoudstafel

Inhoudstafel	p. 1
Hoofdstuk 1 Inleiding <i>Michiel Steenhoudt & Maarten Smeets</i>	p. 3
Hoofdstuk 2 Bodemkundige aspecten <i>Ludo Fockede</i>	p. 7
2.1 Fysiografie	p. 7
2.1.1 Lokale topografie en hydrografie	p. 7
2.1.2 Algemene geologische opbouw	p. 7
2.1.2.1 Tertiair geologische opbouw	p. 7
2.1.2.2 Quartair geologische opbouw	p. 10
2.2 Bodemeenheden rond de site en hun eigenschappen	p. 10
2.3 Bodemgenese en terreinwaarnemingen	p. 13
2.3.1 Bodemgenese	p. 13
2.3.1.1 Algemene bodemgenese	p. 13
2.3.1.2 Specifieke bodemgenese	p. 13
2.3.2 Terreinwaarnemingen	p. 14
Hoofdstuk 3 Werkmethode <i>Michiel Steenhoudt & Maarten Smeets</i>	p. 19
Hoofdstuk 4 Beschrijving van de sporen <i>Michiel Steenhoudt</i>	p. 21
Hoofdstuk 5 De vondsten <i>Michiel Steenhoudt</i>	p. 25
Hoofdstuk 6 Het fysisch-antropologisch onderzoek <i>E. Smits (Smits antropologisch bureau)</i>	p. 29
6.1 Inleiding	p. 29
6.2 De methoden	p. 29
6.2.1 Beschrijving van de crematieresten	p. 29
6.2.2 Beschrijving van de fysische antropologische eigenschappen	p. 30
6.3 Werkwijze	p. 32
6.4 Resultaten crematierestenonderzoek	p. 32
Hoofdstuk 7 Besluit <i>Michiel Steenhoudt & Maarten Smeets</i>	p. 33
Bibliografie	p. 35
Bijlagen	p. 37
Bijlage 1: Sporeninventaris	p. 39
Bijlage 2: Vondsteninventaris	p. 43

Bijlage 3: Fotoinventaris	p. 45
Bijlage 4: Profieltekeningen	p. 49
Bijlage 5: Tekeningen van de vondsten	P. 51
Bijlage 6: Profielbeschrijving	p. 53
Bijlage 7: Opgravingsplan	p. 59

Hoofdstuk 1 Inleiding

Michiel Steenhoudt & Maarten Smeets

Naar aanleiding van de aanleg van een nieuw fietspad langs beide zijden van de Peerderbaan, ter hoogte van het Kolisbos, tussen Neerpelt en Sint-Huibrechts-Lille, werd door Onroerend Erfgoed een archeologische begeleiding opgelegd. De aanwezige sporen moesten onmiddellijk volledig opgegraven worden.

Het onderzoek werd door de gemeente Neerpelt aan Studiebureau Archeologie bvba toevertrouwd en het terreinwerk werd uitgevoerd van 10 tot en met 20 april 2012.

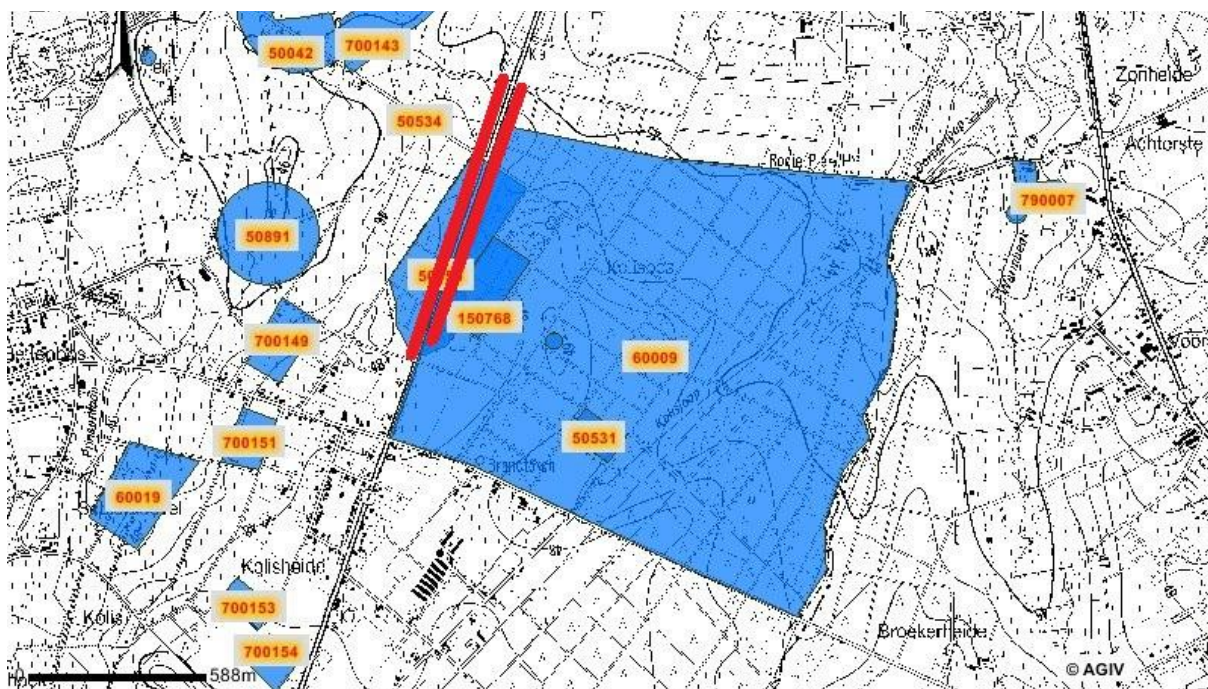


Fig. 1: Uittreksel uit de CAI met situering van het projectgebied.

Het projectgebied beslaat ca. 0,73 ha en is gelegen langs de Peerderbaan in het Kolisbos. Op de CAI (fig. 1) zijn tal van vindplaatsen en vondstmeldingen aangegeven. De belangrijkste voor dit project is het Kolisbos zelf (CAI 60009 en 50158). In het bos werden van 1985 tot 2001 opgravingen uitgevoerd door de heemkundige kring van Sint Huibrechts Lille onder leiding van A. Claassen¹. Er werden sporen van metaalbewerking, plattegronden en waterputten gevonden uit de Romeinse periode alsook een 'bustumgraf' waarvan de beenderen, onderzocht door Anton Eryvynck, toegeschreven konden worden aan een rund. Verder werden er concentraties lithisch materiaal gevonden. Door middel van luchtfotografie werden in de buurt van het onderzochte terrein verschillende locaties van 'celtic fields' aangeduid (CAI 700143, 700149, 700151, 700153 en 700154) (fig. 2)².

¹ Claassen 1998.

² Resultaten ter beschikking gesteld door Annick Arts (Onroerend Erfgoed).

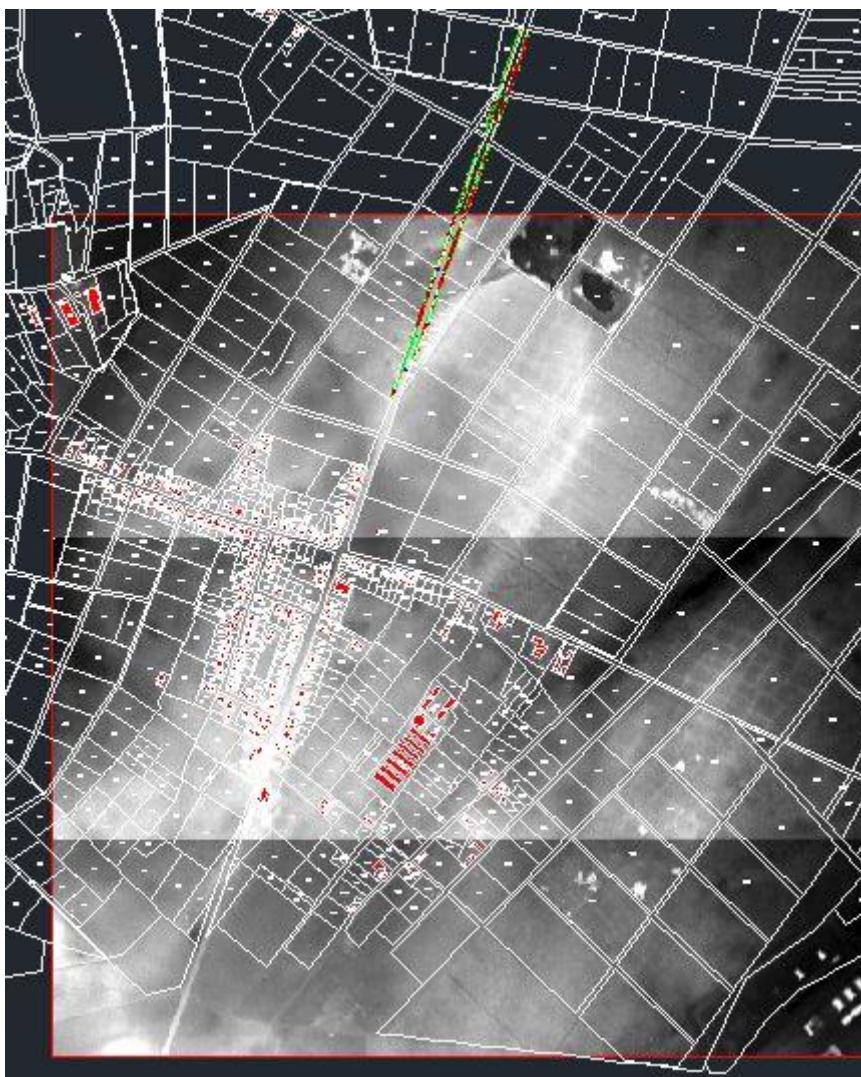


Fig. 2: Hoogtemodel met aanduiding van het projectgebied.

Ten westen van het projectgebied zijn een aantal vindplaatsen opgenomen waar sporen van begraving werden aangetroffen. Op locatie CAI 50042 zijn een grafheuvel en 2 langbedden uit de late bronstijd en 151 crematiegraven en 130 grafcircels uit de vroege ijzertijd opgegraven. Er werd onderzoek gedaan vanaf 1896. In 1959 is de NDO systematisch onderzoek beginnen doen op deze plaats³. CAI 50534 betreft een toevalsvondst van een urnegraf uit de vroege ijzertijd. Op vindplaats CAI 50891 werden een grafheuvel met bijhorende urne en crematieresten aangetroffen. Vindplaats CAI 60019 is een urneveld uit de metaaltijden. Hier werden 7 urnegraven geplunderd en verkocht. Ten oosten van het Kolisbos ligt vindplaats 790007. Het betreft een losse vondst die volgens de vinder een 'chopping tool' zou zijn, maar dit is niet bevestigd door een archeoloog. En tot slot is er locatie CAI 60091, een watermolen die in de nieuwe tijd gedateerd wordt.

³ Roosens & Beex 1960; Roosens & Beex 1961; Roosens & Beex 1962; Van Impe, Beex & Roosens 1973.



Fig. 3: Uittreksel uit de Ferrariskaart met situering van het projectgebied.

De Ferrariskaart (1771-1778) (fig. 3) toont dat het projectgebied bestond uit heide. Ook de Atlas der Buurtwegen (fig. 4) geeft hetzelfde beeld, met de aanduiding van het toponiem 'Kolisheide'. Er waren echter te weinig punten om het projectgebied op deze kaart te projecteren.

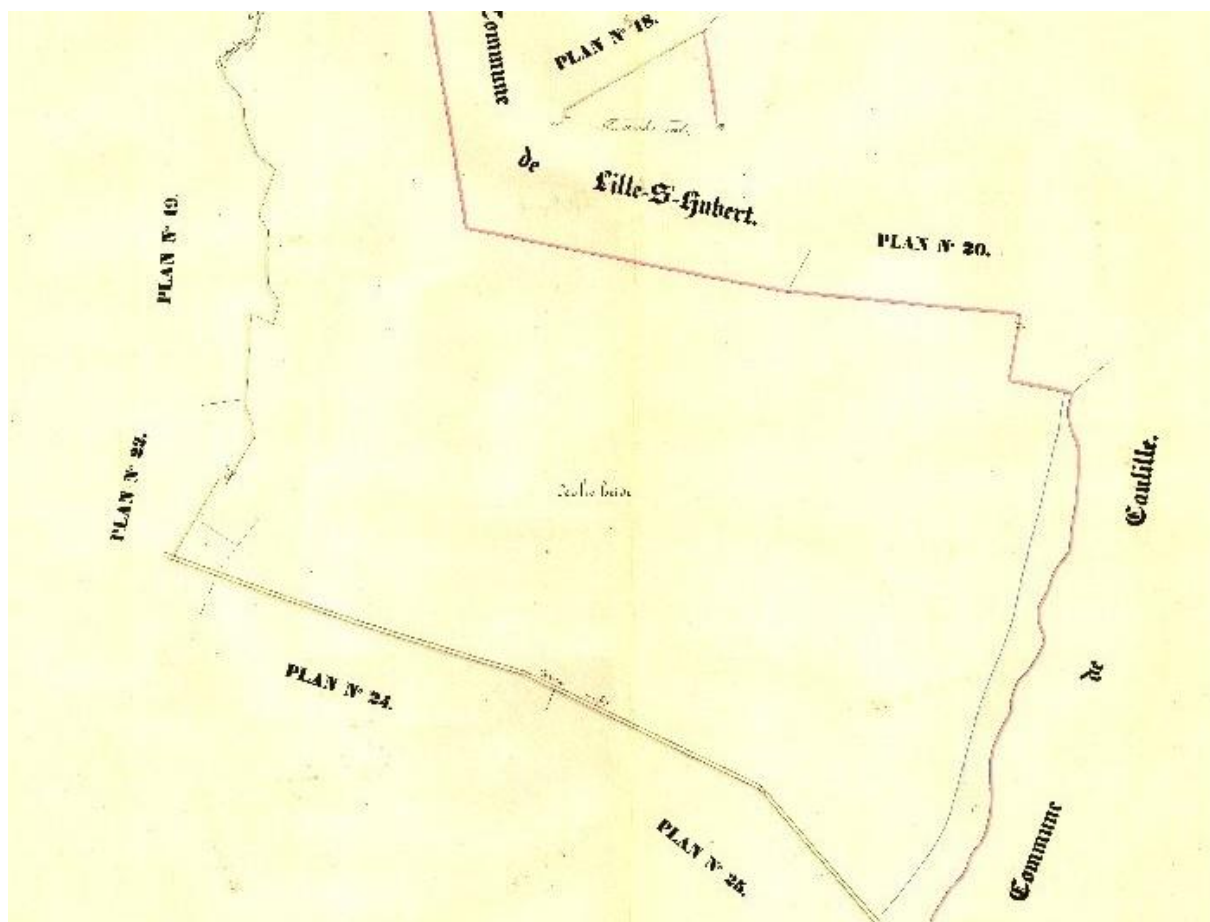


Fig. 4: Uittreksel uit de Atlas der Buurtwegen.

Hoofdstuk 2 Bodemkundige aspecten

Ludo Fockedeey

2.1 Fysiografie

2.1.1 Lokale topografie en hydrografie

Het onderzoeksgebied ligt op een hoogte tussen 49 en 53 m TAW. Het oppervlak vertoont over de hele lengte een onregelmatig reliëf. Een asymmetrisch profiel is zichtbaar met een steile noordkant en een veel minder steile zuidkant. Deze wordt gekenmerkt door een vrij uitgesproken microtopografie (fig. 5). De afwatering gebeurt naar het noorden door de westelijk gelegen Prinsenloop (fig. 6). Deze behoort tot het Maasbekken⁴.

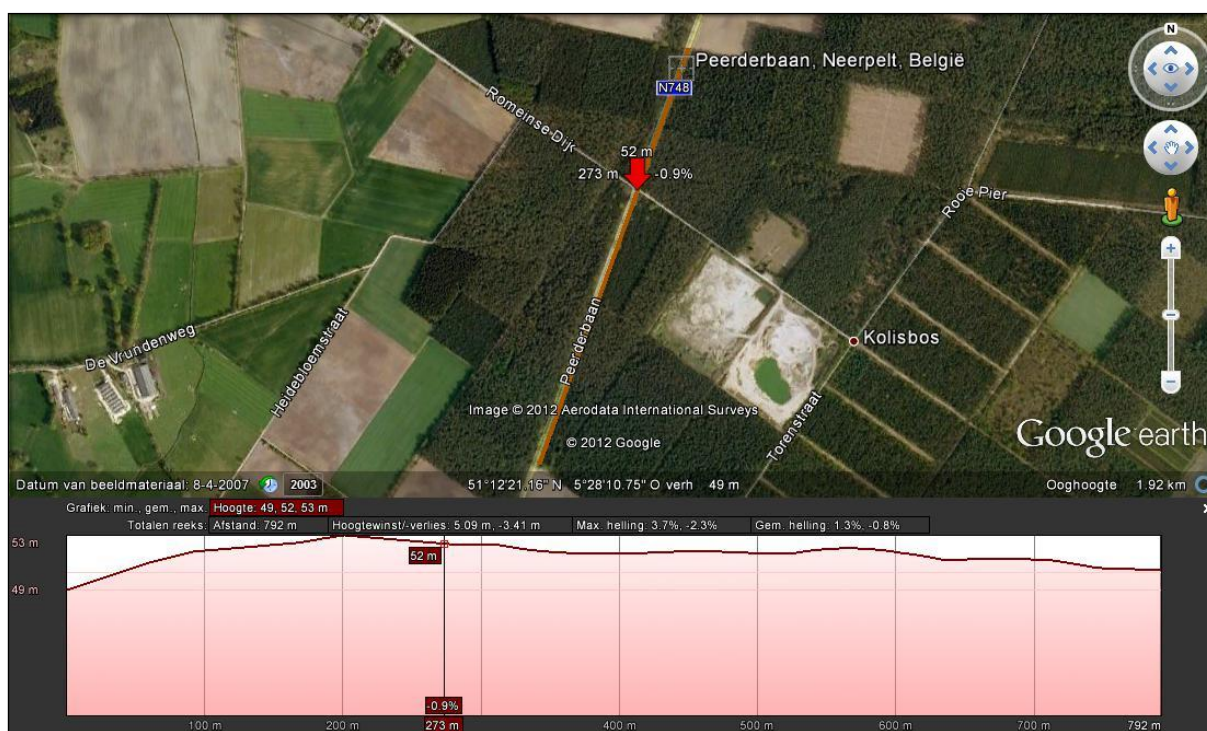


Fig. 5 : Noordnoordoost - zuidzuidwest lengteprofiel van het oppervlak en de helling in het projectgebied.

2.1.2 Algemene geologische opbouw

2.1.2.1 Tertiair geologische opbouw

Onder het projectgebied bevinden zich sedimenten die behoren tot de Formatie van Mol (MI) (fig. 7). Deze formatie dateert uit het Pliocene (fig. 8). De Zanden van Mol zijn grove, meestal opvallend

⁴ Volgens de Vlaamse Hydrografische Atlas, <http://geo-vlaanderen.agiv.be/geo-vlaanderen/vha/>.

witte, zanden die bijna uitsluitend uit kwarts bestaan en om deze reden veelvuldig in de industrie toepassing vinden.



Fig. 6 : Topografie en hydrografie rond het aangeduide onderzoeksgebied⁵.

Onderaan in deze formatie bevindt zich het *Kwartzand van Mol-Donk*, dat zeer goed gesorteerd is maar toch ook wisselingen in grofheid vertoont. De klei is uit deze zanden meestal uitgewassen en de modale doormeter is meestal iets kleiner dan 250µm.

Op dit pakket bevindt zich in de tpeestreek een dunne kleiige horizont en een sprietlaag (spriet is de lokale naam voor bruinkool) die de *Spriethorizont van De Maat* wordt genoemd.

Boven de sprietlaag ligt een iets grover kwartzand met modale doormeter, meestal boven de 250µm, nog beter gesorteerd en met minder wisselingen in grofheid. Dit zand noemt men het *Kwartzand van Maatheide*. Aan de top van dit zand werd in de ontginning van Maatheide nog een lignietachtige veenlaag aangetroffen: de *Lignietlaag van Russendorp*.

De dikte van deze formatie neemt toe in westelijke richting van ongeveer 10 m aan de splitsing van de verschillende breuken bij Bree tot 100 m aan de westrand van het kaartblad. Deze diktes lijken vrij goed overeen te komen met die op het kaartblad Mol. Het verschil met de Kiezeloölietformatie bestaat hierin dat er in de slenk hoogstwaarschijnlijk nog een jonger pakket aanwezig is (Lid van Jagersborg) dat boven de Brunssum I Klei ligt, die overeen zou kunnen komen met de Lignietlaag van Russendorp. De totale dikte van de Kiezeloölietformatie (ongeveer 200 m) overtreft die van de Formatie van Mol (10 à 100 m) vermits in de zakkende slenk meer ruimte werd gecreëerd waar afzetting kon plaatsgrijpen. Op de geologische kaart en in de profielen was het niet mogelijk om de verschillende leden van de Formatie van Mol te onderscheiden omwille van onvoldoende gedetailleerde boorbeschrijvingen⁶.

⁵ Fysiografisch beeld volgens de Vlaamse Hydrografische Atlas, <http://geo-vlaanderen.agiv.be/geo-vlaanderen/vha/>.

⁶ Sels, Claes & Gullentops F1999.

De archeologische begeleiding langs de Peerderbaan te Neerpelt

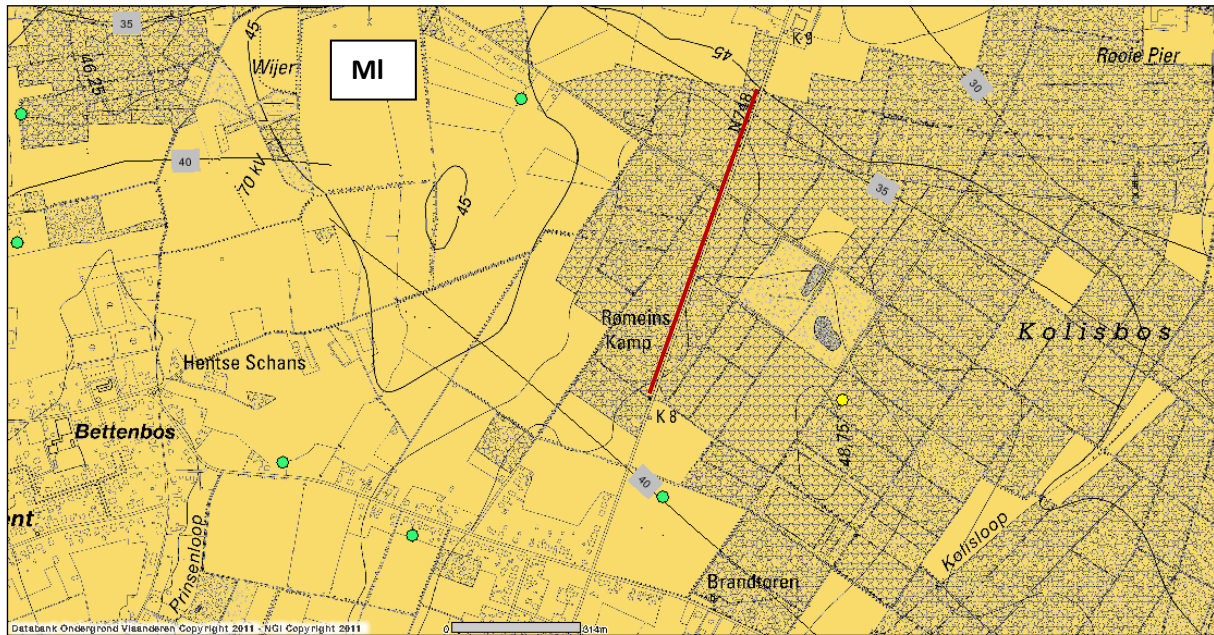


Fig. 7: Tertiairgeologische kaart met aanduiding van het projectgebied.

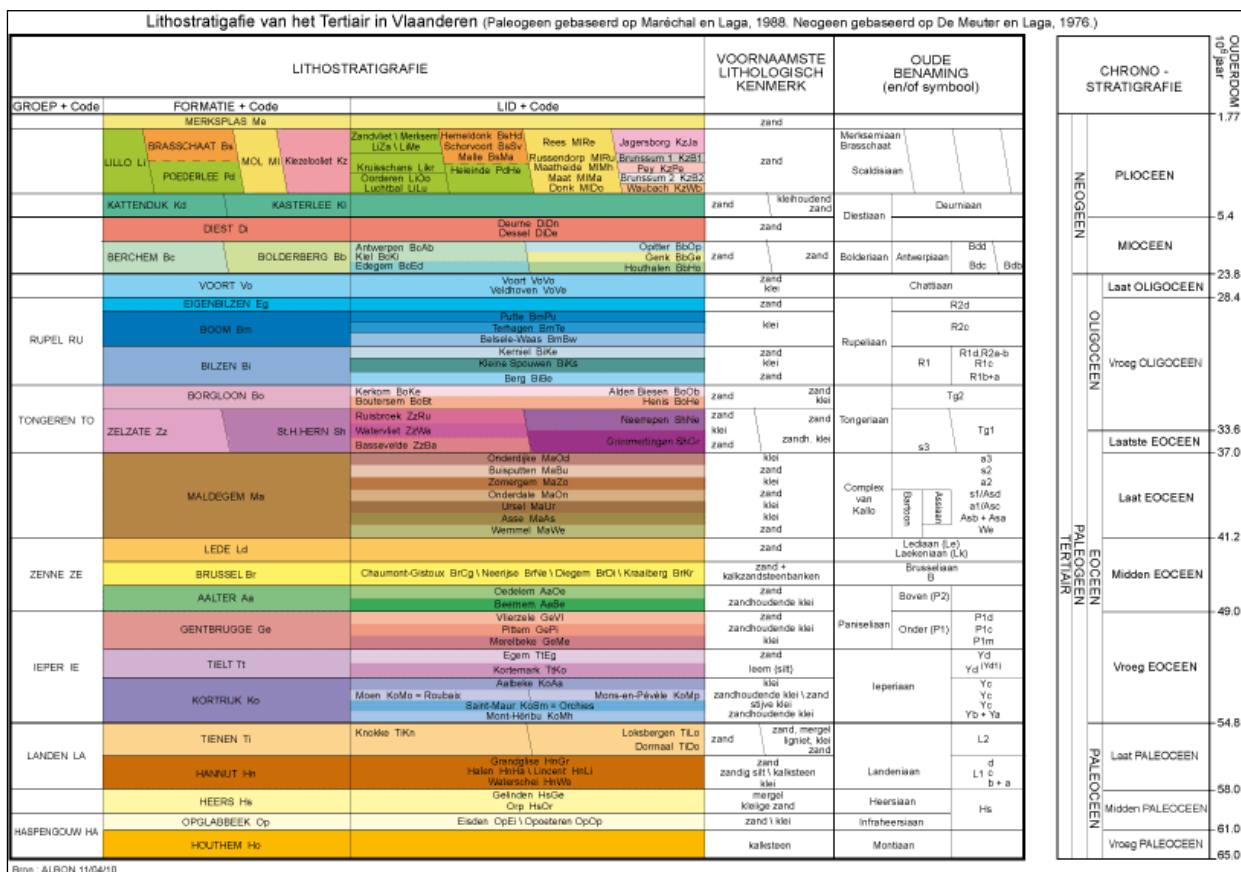


Fig. 8: Litho- en chronostratigrafie van het Tertiair in Vlaanderen.

2.1.2.2 Quartairgeologische opbouw (fig. 9)

De dikte van het quartair dek is onduidelijk. In het boorrapport dat hierover het meest informatie geeft, wordt het quartair dek tot op 3,20 m dikte beschreven omdat de boringen niet dieper gaan⁷. Wanneer het hoogteverschil tussen de isohypsen van de top van het Tertiair en de hoogtelijnen van de topografische kaart worden vergeleken, komt dit voor het projectgebied op 8 tot 10 m.

De quartaire afzettingen bestaan onderaan uit fluviatiele afzettingen, met name Rijnsedimenten, die behoren tot het Baveliaan. Ze behoren tot het Vroeg-Pleistoceen. Ze zijn afgedekt door eolische afzettingen van het Saaliaan (Midden-Pleistoceen) en/of het Weichseliaan (Laat-Pleistoceen). Daarenboven komen er ook Quartaire hellingsafzettingen voor.

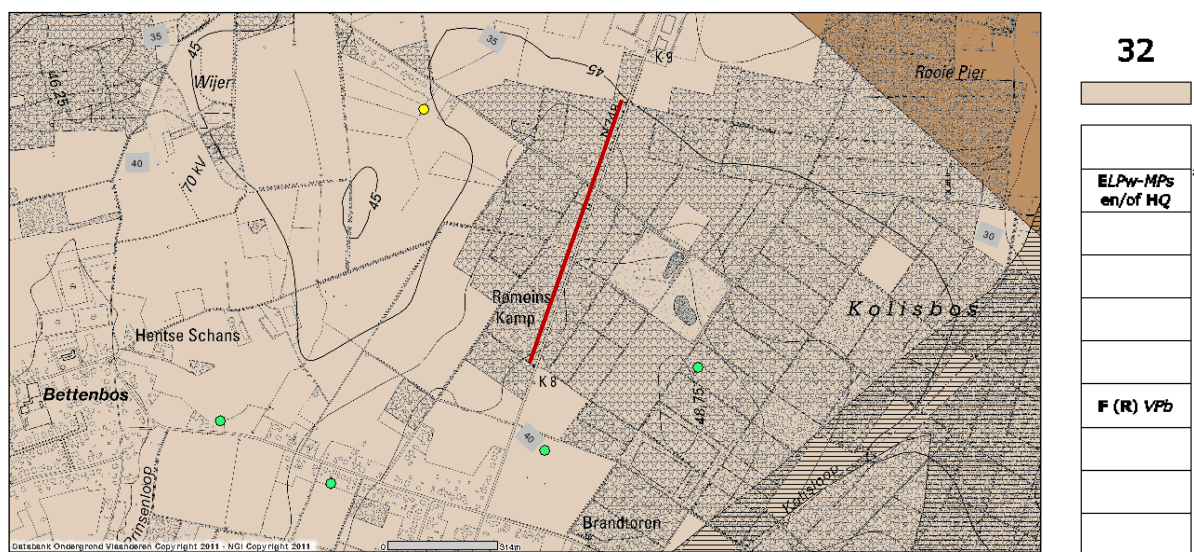


Fig. 9: Quartairgeologische kaart⁸ met aanduiding van het projectgebied.

Legende: **ELPw-MPs en/of HQ**: eolische afzettingen van het Weichseliaan (Laat-Pleistoceen) en/of het Saaliaan (Midden-Pleistoceen) en/of Hellingsafzettingen van het Quartair.

F (R) VPb: fluviatiele afzettingen (Rijnsedimenten) van het Baveliaan (Post-Jaromillo – Vroeg-Pleistoceen)

2.2 Bodemeenheden rond de site en hun eigenschappen

Het projectgebied ligt hoofdzakelijk op zand (Z) en in mindere mate op lemig-zand (S) (fig. 10). Op basis van bestaande gegevens (tabel 1) kunnen deze goed gesitueerd worden op de Belgische textuurdriehoek (fig. 11).

⁷ Databank Ondergrond Vlaanderen, Boorrapport.

⁸ De digitale quartairgeologische kaart heeft een schaal 1:200.000 en wordt hier niet gebruikt om gedetailleerde beschrijvingen te maken. De informatie van de rapporten van de geologische boringen worden hier wel gebruikt om bijkomende informatie in te winnen (vb. dikte van het quartair dek).

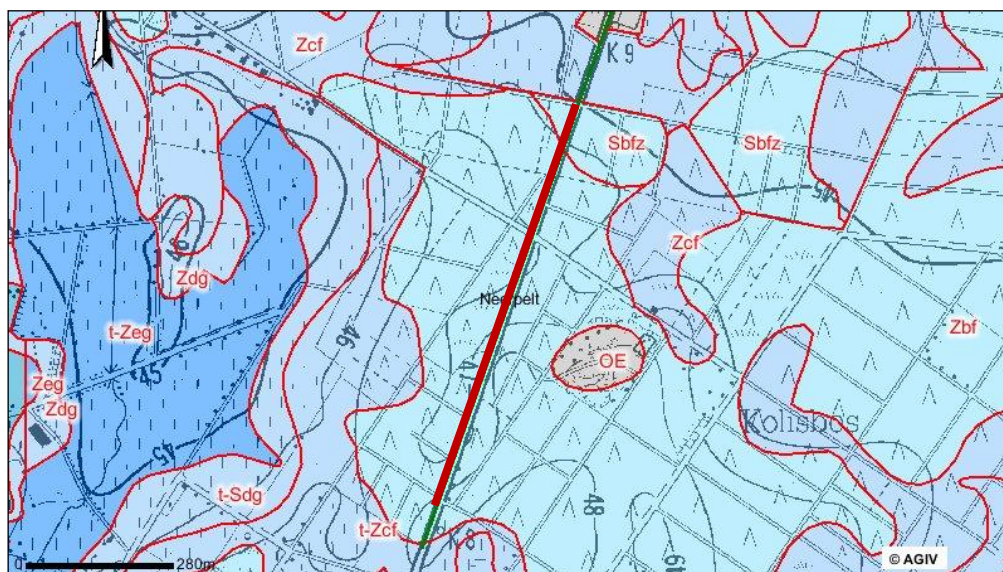


Fig. 10 : Overzicht van het bodemlandschap met aanduiding van het onderzoeksgebied⁹.

Bodemtextuurgegevens over het projectgebied

LEGENDE

U	Zware klei
E	Klei
A	Leem
L	Zandleem
P	Licht zandleem
S	Lemig zand
Z	Zand

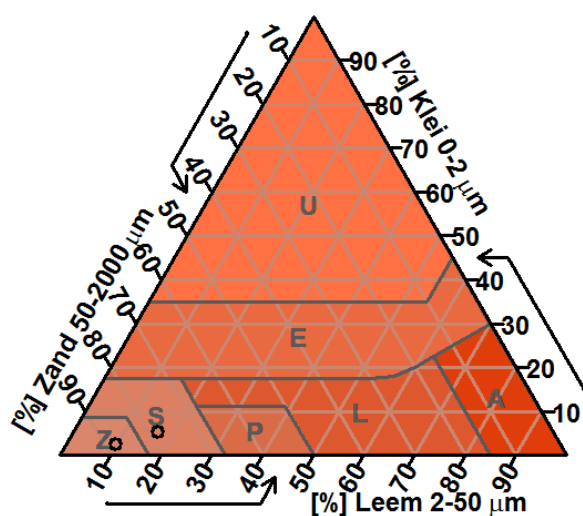


Fig. 11: De Belgische textuurklassendriehoeksdigram met plaatsing van de bodemtextuurgegevens voor het projectgebied¹⁰.

Een vergelijking tussen de (gemiddelde) textuursamenstelling (in %) van de oppervlaktelaag van de zand- en de lemig zandgronden is te vinden in tabel 1. Wat hierin opvalt is de verdubbeling van het kleigehalte (x 2,16) en een substantiële verhoging (x 1,6) van het leemgehalte in de lemig zandgronden (fig. 12).

⁹ Volgens de Belgische Bodemkaart, <http://geo-vlaanderen.agiv.be/geo-vlaanderen/bodemkaart/>.

¹⁰ Gegevens uit tabel 1 verwerkt met het programma R: <http://www.r-project.org/>

Fracties	Textuursamenstelling (in %)	
	Zand (Z)	Lemig zand (S)
<i>Klei</i>	2,5	5,4
<i>Leem</i>	9,8	16,5
<i>zand</i>	87,7	78,1
mediaan	131 μ (variatie 118-175 μ)	127 μ (variatie 95-240 μ)

Tabel 1: Vergelijking tussen de (gemiddelde) textuursamenstelling (in %) van de oppervlaktelaag van de zand- (Z) en de lemig-zandgronden (S)¹¹.

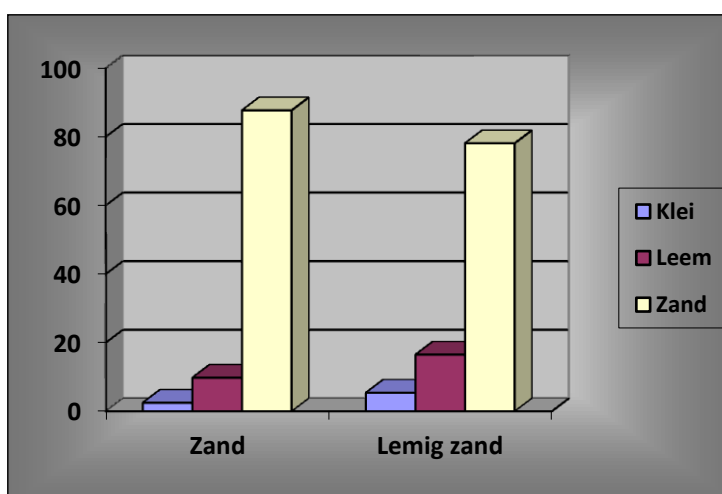


Fig. 12: Grafiek van de (gemiddelde) textuursamenstelling (in %) van de oppervlaktelaag van de zand (Z) en lemig-zandgronden (S).

Zbf zijn droge zandgronden met weinig duidelijke humus en/of ijzer B horizont. In profiel zijn het een droge, bruine podzolachtige bodems met weinig duidelijke humus-ijzer B horizont. Meestal gaat het om oude cultuurgronden met matig dikke of dikke humeuze bovenlaag, zodat de podzolhorizont (Bh) dikwijls met de Ap verwerkt is. Het profiel vertoont tussen 90 en 125 cm roestverschijnselen. Substraatgronden zijn onderhevig aan de gevolgen van een stuwwatertafel, waardoor ze natter in de winter en droger in de zomer zijn vergeleken met die zonder storende ondergrond. Ze zijn iets meer dan Zaf geschikt voor land- en tuinbouw, maar de productiecapaciteit blijft laag¹².

Sbfz zijn droge lemig-zandgronden met weinig duidelijke humus of/en ijzer B horizont. Ze worden grover in de diepte (...z). In profiel zijn het droge, bruine podzolachtige bodems. Onder de Ap (A₁) ligt een bruine humus B horizont waarin relatief weinig ijzer voorkomt. De C horizont vertoont roestverschijnselen tussen 90 en 125 cm diepte. De grondwatertafel ligt in de winter meer dan 90 cm diep. Dat maakt dat ze weinig geschikt is voor akkerbouw en weide¹³.

¹¹ Baeyens 1976: 38-39 en 52-53.

¹² Baeyens 1976: 39-40.

¹³ Baeyens 1976: 54-55.

2.3 Bodemgenese en terreinwaarnemingen

2.3.1 Bodemgenese

2.3.1.1 Algemene bodemgenese

Systematisch onderzoek in verband met de (kwartair-) geologische samenstelling van de grintafzettingen en de bodemgenese die zich hierin heeft voltrokken, leidt tot een aantal algemeen voorkomende kenmerken. Het gaat hier altijd om polysequumprofielen waarin een jong, min of meer uitgesproken profiel zich oppervlakkig ontwikkeld heeft in de uitgeloogde horizont van oudere bodemvormingen. De polysequumprofielen bestaan uit verscheidene gesuperposeerde bodems:

1. *Oudste profielen met rode textuur B banden.* Ze wijzen op een verwerking die ouder is dan de laatste ijstijd, waarschijnlijk van het Riss-Würm Interglaciaal, onder een klimaat dat te vergelijken is met dat van het huidig Mediterraan gebied. Vermoedelijk werden deze bodems tijdens de Würmperiode afgeknot, hetgeen afgeleid wordt van het feit dat de rode B banden op verschillende diepte voorkomen van de ene groeve tot de andere.
2. *Oudere profielen met bruine textuur B horizont.* Deze zijn op een gelijkmatige diepte (80 cm) ontwikkeld, onafgezien de cryoturbatietekeningen. Wanneer de rode B banden voorkomen onder de uitgeloogde laag, kan men de bruine B banden niet duidelijk onderscheiden. Waar de ketelvormige figuren, opgevuld met Würmmateriaal, dieper reiken dan 80 cm, zijn de bruine meer consistente B banden meestal zeer duidelijk.
3. *Fragipan.* Er bestaat een opvallende overeenkomst tussen de hierboven beschreven rode en bruine textuur B banden van de Limburgse bodems en de fragipanbodems van de plateaugronden van de Ardennen. De consistentie, de kleuren, de gleyverschijnselen en de relatieve ligging in het profiel zijn in beide gevallen identiek. Het enige verschil dat bestaat, is dat van de textuur; wanneer de Würmafzetting ook lemig is, zoals de Ardennen, dan is de gelijkenis volledig.
4. *Recente profielen.* De actuele bodemvorming grijpt plaats in de oppervlaktelaag, die uit de losse E laag bestaat, waarvan de dikte ca. 80 cm bedraagt van de oud-holocene, uitgeloogde bodem. Hierin komen alle mogelijke ontwikkelingsstadia van de podzol voor.

2.3.1.2 Specifieke bodemgenese

De gronden met weinig duidelijke humus en/of ijzer B horizont staan bekend als bruine podzolachtige bodems. De zandige sedimenten vertonen na de uitloging van klei en sesquioxiden een accumulatie van humus en/of ijzer in de oppervlakkige lagen.

De A₁ horizont bevat afgeloogde kwartskorrels, die onderaan een zeer dunne E (ca. 1 cm dik) vormen. De podzol B horizont is weinig duidelijk, heeft een bruine kleur en gaat geleidelijk over tot het C materiaal. Deze profielontwikkeling komt voor op bodems die oorspronkelijk geen profieldifferentiatie vertoonden, maar ze worden ook aangetroffen in het E materiaal van de grijsbruine podzolachtige bodems (polysequumprofiel).



Fig. 13: De ligging van het referentieprofiel.

2.3.2 Terreinwaarnemingen

Het referentieprofiel (fig. 14) vertoont enkele uitgesproken kenmerken. De oppervlakte horizont is ongeveer 44 cm dik met een scherpe ondergrens en duidelijk verploegd of vergraven (1). De aanwezigheid van brokken A₁ en B materiaal wijst op een kortstondige ingreep wat het heterogene karakter van deze horizont verklaart.

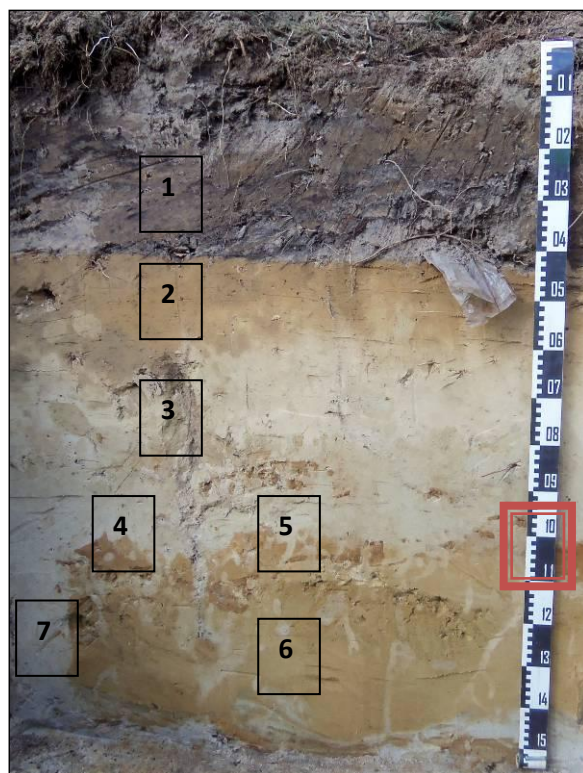


Fig. 14: Referentieprofiel met bodemhorizonten opeenvolging.

De aanwezigheid van een plastic zak op de scheiding van de A en de B horizont wijst zelfs op een recente ingreep. Daaronder bevindt zich de B horizont (2) die vrijwel onmiddellijk overgaat in de IC horizont (3). Op de overgang van de IC horizont naar de onderliggende IIC horizont (6) bevinden zich harde brokken (4) Bir met in enkele de gelaagdheid van het zand bewaard (fig. 16). In de horizont (dieper dan 80 cm) zijn er sporen van cryoturbatie [(7) en fig. 15)] en sporen van bioturbaties (mogelijk kevergangen) (5).

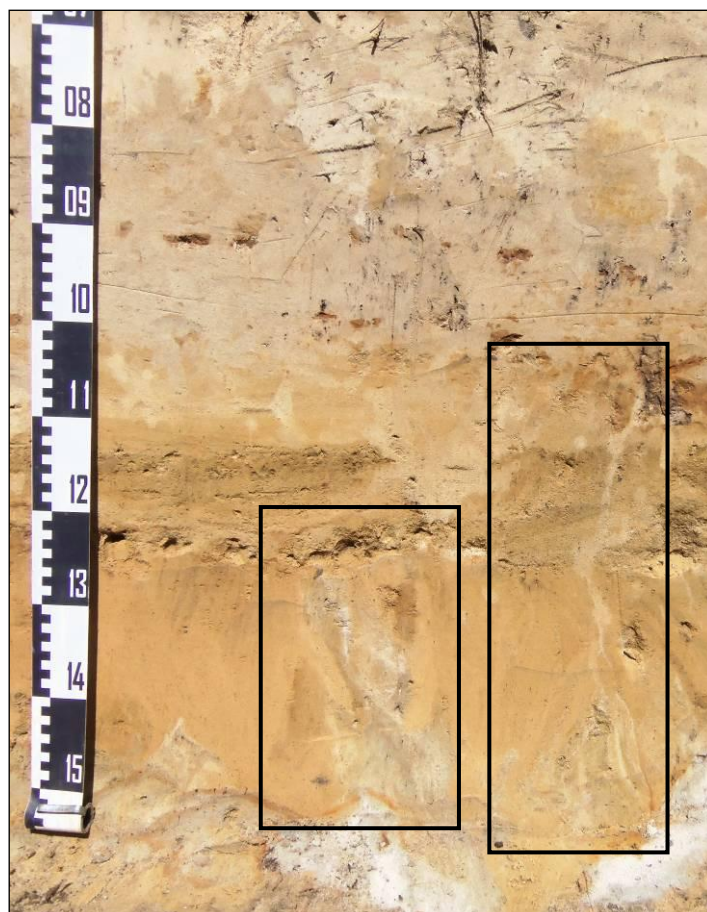


Fig. 15: Gevlamde cryoturbatiesporen in de horizont lager dan 1 m (omkaderd).



Fig. 16: Detail van een brok (Bir) met zichtbare gelaagdheid (1) (zie ook fig. 14).

Om na te gaan of het hele terrein bewerking onderging, werd in het bos op enkele meter van het referentieprofiel geboord en een kleine put gemaakt tot op 40 cm diepte (ligging: fig. 13). Dit profiel onder bos verschilt van het referentieprofiel omdat de oppervlaktelaag niet is aangetast (fig. 17). De organische horizont is hierbij zo'n 10 cm dik (1) en behoort tot het Mor humus type. De zwarte A₁ (2) is 2 cm dik en eronder ligt een E horizont met dezelfde dikte (3) die langzaam overgaat in een paarsachtige horizont van zo'n 18 cm (4). Deze gaat gradueel over in de B horizont (5). Er zijn geen sporen van een Ap.



Fig. 17: Profiel onder bos, zonder bewerkingssporen.

Het intacte profiel werd ook af en toe langs het sleuventraject aangetroffen (fig. 18). Op de foto is een langwerpige spoor (SP8) te zien dat in de profielwand verder loopt. Door de lengte van enkele meter en het feit dat deze zich af en toe herhalen in het grondvlak, kan afgeleid worden dat het mogelijk ploeg- of bewerkingssporen zijn.

Het valt wel op dat de (micro-) podzol zich erboven bevindt. Dat kan erop wijzen dat deze zich heeft ontwikkeld onder bos en op zich niet zo oud is omdat op de Ferrariskaart (fig. 3) duidelijk heidevelden liggen. Op de Atlas van de Buurtwegen staat het toponiem "Kolis heide" (fig. 4). Het is mogelijk dat de (micro-) podzol het resultaat is van de bebossing, mogelijk in de negentiende eeuw.

Verwonderlijk is wel dat de aanwezigheid van de heidegebieden normaal gezien resulteert in een heidepodzol (fig. 19).



Fig. 18: Begraven profiel langs de weg.



Fig. 19: Een typische heidepodzol te Ravels – Raafstuinweg.

Hoofdstuk 3 Werkmethode

Michiel Steenhoudt & Maarten Smeets

De werkzone was gelegen langs beide zijden van de Peerderbaan en werd uigezet door de aannemer. De aanwezige bomen binnen deze zone werden op voorhand door de aannemer met een kraan, voorzien van een tang, omgeduwd en verwijderd zodat de wortels onmiddellijk mee weggehaald werden.

Het archeologisch vlak werd machinaal aangelegd (fig. 20) conform de opgelegde voorschriften met een graafmachine voorzien van een platte graafbak. Het vlak werd volledig opgeschaafd en gefotografeerd. Alle aanwezige sporen, losse vondsten en verstoringen werden topografisch ingemeten. Alle sporen werden gefotografeerd en beschreven en nadien gecoupeerd. De coupes werden, indien antropogeen, digitaal ingetekend op schaal 1/1. In totaal werden vier werkputten aangelegd. Ten westen van de Peerderbaan werden werkputten 1 en 2 aangelegd die gescheiden zijn door de Romeinse Dijk en ten oosten van de Peerderbaan werden werkputten 3 en 4 uitgegraven die gescheiden werden door de Rode Pier. De werkputten waren ongeveer 4,5 m breed en lagen 2,4 m van de weg af.



Fig. 20: De aanleg van het vlak.

Van alle houtskoolrijke sporen en lagen werden monster ingezameld. Er werd 1 crematiegraf aangetroffen. Dit werd integraal bemonsterd en uitgezeefd op 10, 3 en 1 mm. Het zeefresidu van 10 en 3 mm werd droog bewaard en is bedoeld om het aanwezige bot te onderzoeken. Het zeefresidu van 1 mm is nat bewaard en wordt gebruikt voor onderzoek naar zaden en granen.

Hoofdstuk 4 Beschrijving van de sporen

Michiel Steenhoudt

In totaal werden 71 sporen opgetekend, waarvan na het couperen 46 sporen natuurlijk bleken te zijn. In de overige 25 sporen werden 6 sporen als paalkuilen (sporen 34, 36, 37, 38, 41 en 45) en 14 sporen als kuilen (sporen 1, 14, 20, 21, 22, 26, 27, 29, 31, 39, 40, 46, 47 en 65) geïnterpreteerd. Er werden 4 spoornummers gegeven aan 4 verschillende groepen van greppels (spoor 71) of ploegsporen (sporen 8, 9 en 15) die telkens een andere oriëntatie hadden. Een laatste spoornummer werd gegeven aan een spoor dat geïnterpreteerd werd als een slecht bewaard crematiegraf (spoor 18).

Spoornummer 71 werd toegewezen aan een reeks van drainagegreppels in sleuf 4. Deze greppels waren nog zichtbaar in het terrein (fig. 21).



Fig. 21: Eén van de greppels met spoornummer 71.

Sporen 8, 9 en 15 werden geïnterpreteerd als ploegsporen. Spoornummer 8 omvat alle noord-zuid georiënteerde ploegsporen, spoornummer 9 werd gegeven aan alle oost-west georiënteerde ploegsporen en spoornummer 15 zijn alle noordoost-zuidwest liggende ploegsporen. In het vlak zijn alleen de diepste ploegsporen nog te zien. Vermoedelijk zijn ze van voor de aanleg van de Peerderbaan want ze komen aan beide kanten van de weg in dezelfde oriëntaties voor en de (micro-) podzol (fig. 18) zit boven spoor 8.

De 14 kuilen zijn in het vlak eerder vage sporen met een zeer diffuse aflijning. De sporen hadden een ronde tot licht ovale vorm in het vlak en hadden een diameter tussen 95 en 120 cm. De bodems waren steeds onregelmatig en behalve spoor 40, dat ca. 40 cm diep bewaard was, waren de andere kuilen slechts 10-15 cm diep bewaard. De kleur varieert van grijsbruin tot donkerbruin met grijze vlekken. Er werden telkens wat houtskoolspikkels opgemerkt.

Er werd in 1 kuil, spoor 26, aardewerk aangetroffen. Het spoor tekende zich als een donkerbruine tot grijze, ovale vlek af in het vlak. Deze kuil (fig. 22) heeft een onregelmatig profiel dat maximaal 16 cm diep is. Het aardewerk bestaat uit een handgevormde wandscherf. Het betreft besmeten aardewerk dat vermoedelijk te datering is in de ijzertijd.



Fig. 22: De coupe van spoor 26.

Over het hele terrein werden 6 paalkuilen geregistreerd. De vorm in het vlak was cirkelvormig tot ovaal. De vulling van sporen 34, 36, 37 en 45 bleek lichtbruin met grijs tot lichtgrijs met bruin gekleurd. Spoor 34 (fig. 23) is een grotere paalkuil met een rechthoekig profiel. De vulling is eerder lichtgrijs-bruin van kleur met spikkels houtskool erin. Dit spoor is 25 cm diep bewaard. In het vlak was het spoor ongeveer 1,1 m in diameter.

De 5 andere paalkuilen zijn eerder klein met een maximale diameter van 45 cm. Deze sporen waren maximaal 15 cm diep bewaard en hadden een vlakke tot komvormige bodem. Zowel in spoor 38 als in spoor 41 werden stukken houtskool aangetroffen.



Fig. 23: De coupe van spoor 34.

Spoor 38 (fig. 24) werd geïnterpreteerd als een kleine paalkuil met een donkergrijze vulling en een zwarte, houtskoolrijke vulling. De maximale diepte bedraagt 22 cm. Spoor 41 heeft een gelijkaardige vulling maar is maximaal 13 cm diep bewaard en heeft geen houkskoolkern erin.



Fig. 24: De coupe van spoor 38.

Er was geen enkele mogelijk link tussen deze verschillende paalkuilen. Ze liggen allemaal in werkput 2 verspreid over een afstand van 323 m en de dichtst bij elkaar liggende sporen (SP 36 en 37) liggen nog steeds meer dan 12 m uit elkaar.

Bij spoor 18 (fig. 25) was in het vlak enkel een beetje aardewerk te zien met twee stukjes verbrand bot. Daarom werd dit spoor behandeld als een crematiegraf waarbij alles ingezameld werd om uit te zeven. In profiel bleek echter ook geen grafkuil aanwezig te zijn en het spoor was sterk verstoord door boomwortels. Van het aardewerk bleek enkel een deel van de schouder bewaard te zijn. De zeefstalen leverde niet veel meer bot op. In totaal werd minder dan 3 gr bot ingezameld. De resultaten van het fysisch antropologisch onderzoek (hoofdstuk 6) bevestigen in alle geval dat het om menselijk bot gaat.

Omwille van de beperkte hoeveelheid bot en de slecht bewaarde context is het niet mogelijk dit graf te vergelijken met andere graven in de buurt. Wel is het niet uitzonderlijk dat in graven uit zowel de ijzertijd als de Romeinse periode slechts heel beperkte hoeveelheden crematieresten worden aangetroffen. Omdat gegevens over de gewichten van de crematieresten niet beschikbaar zijn voor de nabijgelegen sites, kan wel verwezen worden naar onder andere graven 21, 57, 64, 66, 69, 74 en

122 uit de site Maasmechelen-Mottekamp, waar ook steeds minder dan 10 gr ingezameld kon worden¹⁴.

Er was te weinig materiaal aanwezig om via de ¹⁴C-methode tot een datering te komen.



Fig. 25: De coupe van spoor 18.

¹⁴ Steenhoudt & Smeets (eds.) 2012: 184-186.

Hoofdstuk 5 De vondsten

Michiel Steenhoudt

Het ingezamelde materiaal kan onderverdeeld worden in drie groepen: silex, handgevormd aardewerk (ijzertijd) en Romeins aardewerk.

Ten eerste is er het silexmateriaal (fig. 26). Het betreft twee losse vondsten (LV27 in werkput 3 en LV30 in werkput 4) die alle twee gevonden werden langs de oostkant van de Peerderbaan. Het betreft telkens een afslag. LV27 is gebroken. LV30 is eerder een twijfelgeval waar misschien menselijke bewerking op te zien is, maar die grotendeels verstoord zijn door een natuurlijke vorstbreuk.



Fig. 26: LV 30 en LV 27.

Het handgevormd aardewerk werd vooral in het noordwestelijke deel van het onderzochte terrein teruggevonden. Het betreft zowel besmeten als geglad aardewerk. Er werden twee randen ingezameld. in spoor 2, dat bij het couperen natuurlijk bleek te zijn, werd een gegladde rand gevonden. Volgens de typologie van van den Broeke kan deze ingedeeld worden bij type 1b, een open schaal of kom zonder duidelijke knik of uitgebogen rand¹⁵.

Het tweede randfragment is losse vondst 28. Het betreft een open schaal of kom met naar buiten gebogen rand. De wand gaat abrupt of meer geleidelijk in een uitstaande rand over en is steeds geglad (type 1d)¹⁶.

¹⁵ Van den Broeke 1980: 35.

¹⁶ Van den Broeke 1980: 35.

In spoor 18, het crematiegraf, werden 3 wandscherven aangetroffen. Hieruit is op te maken dat het om een geknikte vorm gaat (fig. 27). Omdat de rand ontbreekt, kan dit stuk niet verder ingedeeld worden.



Fig. 27: Wandscherf uit spoor 18.

Het Romeinse materiaal werd voornamelijk gevonden in de zuidwestelijke zone en vooral in het zuiden van werkput 2. Het betreft hier vooral losse vondsten.

Losse vondst 7 is een randfragment van een wrijfschaal. Volgens Vanvinckenroye gaat het om een variant tussen type 352 maar met een groef op de rand zoals weergegeven bij type 353. Deze wrijfschalen worden gedateerd tussen het begin van de 3^{de} eeuw en de 2^{de} helft van de 3^{de} eeuw¹⁷.

Losse vondst 14 is een randfragment van een gladwandig, oxiderend gebakken bord. Het is een iets afgeschuinde en verdikte, naar binnen geplooiende rand (type 558). Dit type wordt gedateerd tussen de 2^{de} helft van de 2^{de} eeuw tot het begin van de 3^{de} eeuw¹⁸.

Tot slot is er nog losse vondst 19 (fig. 28), een wandfragment in terra sigillata van vermoedelijk een Dragendorff 37. Het stuk is versierd met een bloem- en koordmotief. Een Dragendorff 37 wordt gedateerd tussen 70 en 230 n. Chr., maar doordat dit een oost-gallische productie uit Argonne is, is een datering vanaf het midden van de 2^{de} eeuw mogelijk¹⁹.

¹⁷ Vanvinckenroye 1991: 74.

¹⁸ Vanvinckenroye 1991: 125.

¹⁹ Brulet 2010: 156.



Fig. 28: Terra sigillata wandscherf, LV 19.

Hoofdstuk 6 Het fysisch-antropologisch onderzoek

E. Smits (Smits antropologisch bureau)

6.1 Inleiding

Bij gecremeerd botmateriaal is de samenstelling van het bot veranderd. De organische bestanddelen zijn door de hoge temperaturen verdwenen en alleen het anorganische gedeelte, voornamelijk bestaand uit hydroxyapatiet, blijft over. De kristalstructuur van dit mineraal verandert eveneens. Verbrand botmateriaal heeft te lijden gehad van fragmentatie, vervorming, krimp en breuk, waardoor de determinatie bemoeilijkt kan worden. Wanneer er echter genoeg botfragmenten van een redelijke grootte zijn overgebleven is het over het algemeen wel mogelijk om een leeftijdsschatting, een geslachtsdiagnose en een minimum aantal individuen te bepalen.

Het onderzoek naar crematieresten omvat de beschrijving van de crematieresten zelf (verbranding en fragmentatie) en de beschrijving van de fysisch antropologische eigenschappen, zoals de determinatie van de botfragmenten, leeftijd, geslacht, lichaamslengte, minimum aantal individuen en pathologische botveranderingen.

6.2 De methoden

6.2.1 Beschrijving van de crematieresten

-Fragmentatiegraad

De fragmentatiegraad van crematieresten is afhankelijk van verschillende depositionele en post-depositionele processen (o.a. wel of niet bewaren in een urn, blussen). Niet afgekoelde crematieresten zijn erg breekbaar, handelingen als blussen of verzamelen van deze resten zorgen ervoor dat de fragmenten kleiner worden. Er worden verscheidene stadia van fragmentatie onderscheiden.²⁰ Omdat elke crematie bestaat uit vele botstukjes van verschillende afmetingen wordt bij de beschrijving van de fragmentatiegraad alleen de maximale fragmentgrootte vermeld.

Fase	Omschrijving	Fragmentgrootte (cm)
1	zeer klein	< 1.5
2	Klein	1.6-2.5
3	middel	2.5-3.5
4	groot	3.6-4.5
5	zeer groot	>4.6

²⁰ Wahl 1982.

-Verbrandingsgraad

De verbrandingsgraad kan men o.a. bepalen aan de kleur- en krimpscheur-patronen van het verbrande bot. Deze kleur is afhankelijk van de duur en de temperatuur van de verbranding. Er worden verschillende fasen onderscheiden²¹, een indeling volgt hieronder.

Kleur	Verbrandingsgraad	Temperatuur oC
lichtbruin	0=onverbrand	-
donkerbruin	1=zeer slecht verbrand	<275
zwart	2=slecht verbrand	275-450
grijs	3=middelmatig verbrand	450-650
krijtwit	4=goed verbrand	650-800
oudwit	5=zeer goed verbrand	>800

6.2.2 Beschrijving van de fysisch antropologische eigenschappen

-Determinatie

Bij het determineren van crematieresten worden vooral de fractie van 10 mm en groter bekeken, botstukjes kleiner dan 10 mm kunnen zelden gedetermineerd worden.²² Deze kleine fractie wordt wel nagekeken op fragmenten die van belang kunnen zijn voor de leeftijds- en geslachtsbepaling of het minimum aantal individuen (MAI). De crematieresten worden bij voorkeur gezeefd over een 1 mm zeef omdat dan de grootste kans bestaat dat de allerkleinste botjes, n.l. de gehoorbotjes die van belang kunnen zijn bij het bepalen van het MAI, bewaard blijven.

Bij de inventarisatie worden de botfragmenten in de volgende skeletregio's onderverdeeld:

Skeletdeel	Omschrijving skeletdelen
neurocranium	hersenschedel
viscerocranium	aangezichtsschedel
axiaal	schouder wervels ribben bekken heiligbeen, sleutelbeen
diafysen extremiteiten	schachtfragmenten armen benen
epifysen extremiteiten	gewrichtsuitenden armen en benen

Binnen deze skeletregio's zijn de individuele botstukken gedetermineerd (b.v. dijbeen, spaakbeen). Wanneer bij deze determinatie bepaalde beenderen ontbreken hoeft dat nog niet te betekenen dat deze daadwerkelijk niet aanwezig zijn. De mogelijkheid bestaat dat de fragmenten te klein zijn hiervoor.

²¹ Wahl 1982.

²² Maat 1985.

-Geslachtsbepaling

De geslachtsbepaling wordt uitgevoerd volgens de normen van de Arbeitsgruppe Europäischer Anthropologen (1979) en maakt gebruik van een aantal kenmerken van de schedel en het bekken die in vorm en grootte verschillen tussen de geslachten. Wanneer achter de geslachtsbepaling een vraagteken staat, b.v. “m?” betekent dit “zeer waarschijnlijk mannelijk,” bij twee vraagtekens is de geslachtsbepaling nog onzekerder. Een geslacht toewijzen is alleen bij volwassenen mogelijk. De robuustheid van het post-craniële skelet kan eveneens een aanwijzing zijn voor het geslacht²³.

-Leeftijdsbepaling

De leeftijdsbepaling bij crematieresten-onderzoek volgt dezelfde richtlijnen als die van het inhumatie-onderzoek. Voor onvolwassenen wordt voornamelijk naar de vergroeiing van de epifysen²⁴ en het mineralisatie- en eruptiepatroon van de tanden en kiezen²⁵ gekeken. Bij volwassenen berust de leeftijdsschatting vooral op het aanzien van de symphysis pubica en de facies auricularis²⁶ (allebei gewrichtsvlakken aan het bekken), en de sluiting van zowel de endocraniale²⁷ als de ectocraniale schedelnaden²⁸.

-Lichaamslengteschatting

Voor de lichaamslengteschatting wordt gebruik gemaakt van de grootte van de proximale gewrichten van de humerus (bovenarm), de radius (spaakbeen) en het femur (dijbeen)²⁹.

De doorsnede van de gewrichtskoppen staat in verhouding met de lichaamslengte in die zin dat een grotere gewichten toebehoren aan langere mensen. Daar echter ook de robuustheid de grootte van de gewrichten bepaald is de betrouwbaarheid minder groot dan wanneer gehele pijpbeenderen opgemeten worden zoals dat bij het onderzoek van inhumatieresten plaatsvindt. Bij crematieresten is dat niet mogelijk en dient dus de grootte van de gewrichten als een ruwe schatting (met grote standaarddeviatie) van de lichaamslengte. Niet altijd is dit mogelijk vanwege de voorwaarde dat de volledige gewrichtskop op te meten moet zijn en dat is vaak niet het geval bij crematieonderzoek.

-Pathologie

Het onderzoek naar ziekten en ongelukken bij gecremeerde individuen is vanwege de incompleetheid van het materiaal vrij moeilijk. Een beschrijving van de ziekteverschijnselen is vaak het hoogst haalbare.

²³ Schutkowski & Hummel 1987.

²⁴ Arbeitsgruppe Europäischer Anthropologen 1979.

²⁵ Ubelaker 1984.

²⁶ Lovejoy 1985.

²⁷ Acsádi & Nemeskéri 1970.

²⁸ Rösing 1977.

²⁹ Rösing 1977.

6.3 Werkwijze

De fractie die groter of gelijk is aan 1 cm wordt gedetermineerd. De crematieresten in de verschillende skeletregio's worden gewogen en de fragmentatie- en verbrandingsgraad vastgesteld. De maximale fragmentgrootte wordt afgerond op een halve cm. Wanneer crematieresten minder dan 1 gram wegen wordt dit afgerond tot 1 gram.

De fractie die kleiner is dan 1 cm wordt onderzocht op relevante botfragmenten. Wat overblijft wordt residu genoemd. In sommige gevallen is het residu erg vervuild en moet een schatting gemaakt worden van het gewicht aan crematieresten dat aanwezig is in het residu.

Aanwezige dierenbotten worden van de menselijke crematieresten gescheiden, fragmentatie- en verbrandingsgraad en gewicht worden genoteerd.

Het totaal gewicht aan crematieresten onder aan de tabellen duidt op het totaal zonder de dierlijke botfragmenten.

6.4 Resultaten crematierestenonderzoek

De crematieresten uit deze vindplaats zijn goed tot zeer goed verbrand (fase 4 tot 5), wat overeenkomt met een verbrandingsgraad van $> 650^{\circ}\text{C}$.

Het gewicht van de resten is zeer gering namelijk 3 gram diafyse. De fragmentgrootte bedraagt 3 cm wat middelgroot is. De crematie is echter zeer incompleet en daarom is het niet mogelijk het geslacht te bepalen. Voor de leeftijdsschatting kan slechts de robuustheid van de diafyse een aanwijzing geven en wel dat het waarschijnlijk een volwassen individu betreft.

Door de geringe hoeveelheid is het eveneens niet mogelijk overige biologische kenmerken te onderzoeken, waardoor over de lichaamslengte en de gezondheid niets te zeggen valt.

Het graf uit Neerpelt bevat zeer weinig crematieresten. Alleen op basis van enkele fragmenten en de robuustheid daarvan is een voorzichtige conclusie over de leeftijd mogelijk, namelijk waarschijnlijk volwassen. Uitspraken over het geslacht, de gezondheid en de lichaamslengte zijn niet mogelijk. Dierlijk bot werd niet aangetroffen.

Hoofdstuk 7 Besluit

Michiel Steenhoudt & Maarten Smeets

Conform art. 4 § 2 van het *Decreet houdende Bescherming van het Archeologisch Patrimonium* van 30 juni 1993 (B.S. 15.09.1993), gewijzigd bij decreet van 18 mei 1999 (B.S. 08.06.1999), 28 februari 2003 (B.S. 24.03.2003), 10 maart 2006 (B.S. 7.6.2006), 27 maart 2009 (B.S. 15.5.2009) en 18 november 2011 (B.S. 13.12.2011) zijn de eigenaar en de gebruiker ertoe gehouden de archeologische monumenten die zich op hun gronden bevinden te bewaren en te beschermen en ze voor beschadiging en vernieling te behoeden. Daarom werd door Onroerend Erfgoed een archeologische begeleiding opgelegd.

Tijdens het onderzoek werd vastgesteld dat het terrein voor een groot deel reeds verstoord was door de aanleg van de Peerderbaan. Dit heeft ervoor gezorgd dat er over het terrein een heel aantal losse vondsten aanwezig waren die een aanduiding geven van wat er in de onmiddellijke omgeving aanwezig is. In het zuidelijke deel van werkput 2 zijn alleen Romeinse vondsten vastgesteld waarvan de dateerbare stukken tussen de 2^{de} helft 2^{de} eeuw en begin 3^{de} eeuw kunnen geplaatst worden, terwijl in het noordelijke deel van deze werkput en in werkput 1 enkel handgevormd aardewerk gevonden is.

Eén spoor bevat de beperkte resten (3 gr) van een brandrestengraf. Deze beperkte hoeveelheden crematieresten komen zowel in de ijzertijd als de Romeinse periode voor. Op basis van de beschikbare gegevens uit eerdere onderzoeken in de buurt was een vergelijking niet te maken. Het bekomen van een datering bleek niet mogelijk met de ¹⁴C-methode en op basis van het fysisch antropologisch onderzoek kan enkel geconcludeerd worden dat het om de resten van een volwassen persoon ging.

Hoe deze vondsten in verband gebracht kunnen worden met het onderzoek dat gedurende 15 jaar lang door de Heemkundige kring van Sint-Huibrechts-Lille werd gevoerd, is moeilijk te achterhalen. De overzichtsplannen in hun publicaties zijn niet gegeorefereerd en dus niet aan het voorliggend onderzoek te linken.

Ook naar interpretatie toe is het onderzoek te beperkt om zinvolle uitspraken te kunnen doen. Een aantal sporen kunnen als nederzettingscontexten geïnterpreteerd worden, maar omwille van de beperkte breedte van de werkzone (maximaal 4 m, vervolgens de Peerderbaan, en dan nog eens 4 m) kunnen deze sporen niet aan structuren gelinkt worden.

Bibliografie

ACSÁDI G. & NEMESKÉRI J. 1970: *History of Human Life Span and Mortality*, Budapest.

ARBEITSGRUPPE EUROPÄISCHER ANTHROPOLOGEN 1979: Empfehlungen für die Alters- und Geschlechtsdiagnose am Skelett, in: *Homo* 30, Anhang, 1-30.

BAEYENS L. 1976: *Bodemkaart van België. Verklarende tekst bij het kaartblad Hamont 33 W & Beverbeek 20 W*, Brussel.

BAEYENS L. & DECKERS J. 1971: *Kaartblad Hamont 33W., 1:20.000*, Brussel.

BRULET E.A. 2010: *La céramique romaine en Gaule du nord: dictionnaire des céramiques*, Turnhout.

CLAESSEN A. 1998: *Een belangrijke Gallo-Romeinse nederzetting aan het Kolisbos. Tussentijds verslag van de opgravingen aan de grens Neerpelt – Sint-Huibrechts-Lille*, Overpelt.

DATABANK ONDERGROND VLAANDEREN, *Boorrapport code kb18d33w-B7*.

LOVEJOY C.O., MEINDL R.S., PRYZBECK T.R. & MENSFORTH R.P. 1985: Chronological metamorphosis of the auricular surface of the ilium: a new method for the determination of adult skeletal age at death, in: *American Journal of Physical Anthropology*, 68, 15-28.

MAAT G.J.R. 1985: *A selection Method of Human Cremations for Age and Sex Determination*, XII International Anatomical Congress A.419, Londen.

ROOSENS H. & BEEX G. 1960: Onderzoek van het urnenveld op de “Roosen” te Neerpelt in 1959, *Archaeologia Belgica* 48, Brussel.

ROOSENS H. & BEEX G. 1961: De opgravingen in het urnenveld “De Roosen” te Neerpelt in 1960, *Archaeologia Belgica* 58, Brussel.

ROOSENS H. & BEEX G. 1962: Het onderzoek van het urnenveld “De Roosen” te Neerpelt in 1961, *Archaeologia Belgica* 65, Brussel.

RÖSING F.W. 1977: Methoden und Aussagemöglichkeiten der anthropologischen Leichenbrandbearbeitung, in: *Archäologie und Naturwissenschaften* 1, 53-80.

SCHUTKOWSKI H. & HUMMEL S. 1987: Variabilitätsvergleich von Wandstärken für die Geschlechtszuweisung an Leichenbränden, in: *Anthropologischer Anzeiger* 45, 43-47.

SELS O., CLAES S. & GULLENTOPS F. 1999: *Toelichtingen bij de geologische kaart van België - Vlaams Gewest. Kaartblad 18-10, Maaseik - Beverbeek., schaal 1:50.000*, Belgische Geologische Dienst en Afdeling Natuurlijke Rijkdommen en Energie, Brussel.

STEENHOUDT M. & SMEETS M. (EDS.) 2012: *Archeo-rapport 93. Het archeologisch onderzoek (fase 1) te Maasmechelen-Mottekamp*, Kessel-Lo.

UBELAKER D.H. 1984: *Human Skeletal Remains*, Washington D.C.

VAN DEN BROEKE P.W. 1980: Bewoningssporen uit de IJzertijd en andere perioden op de Hooidonksche Akkers, gem. Son en Breugel, prov. Noord-Brabant, *Analecta Praehistorica Leidensia XIII*, Leiden, 7-80.

VAN IMPE L., BEEX G. & ROOSENS H. 1973: Het urnenveld op "De Roosen" te Neerpelt, *Archaeologia Belgica 145*, Brussel.

VAN RANST E. & SYS C. 2000: *Eenduidige legende voor de digitale bodemkaart van Vlaanderen (schaal 1:20.000)*, Brussel.

VANVINCKENROYE W. 1991: Gallo-Romeins aardewerk te Tongeren, *Publikaties van het Gallo-Romeins Museum te Tongeren 7* (herdruk), Tongeren.

WAHL J. 1982: Leichenbranduntersuchungen, ein Überblick über die Bearbeitungs- und Aussagemöglichkeiten von Brandgräbern, in: *Praehistorische Zeitschrift 57*, 1-125.

Bijlagen

Bijlage 1 Sporeninventaris

Spoor	Werkput	Vlak	Aard	Vorm	Aflijning	Kleur	Textuur	Bijmenging	Vondsten	Opmerkingen
1	1	1	Kuil	Ovaal	ZeD	LGI en LGI-Gr	ReZaLo Z	Bio, HK		
2	1	1	Natuurlijk	Ovaal	ZeD	LGI-Br en LGr-Gl vl.	ReZaLo Z	Bio, HK	Ceramiek	Bleek na onderzoek natuurlijk te zijn.
3	1	1	Natuurlijk	Cirkel	ZeD	LGr-Gl	ReZaLo Z	Bio, HK		Bleek na onderzoek natuurlijk te zijn.
4	1	1	Natuurlijk	Cirkel	ZeD	LGI-Br en LGr-Gl vl.	ReZaLo Z	Bio, HK	Ceramiek	Bleek na onderzoek natuurlijk te zijn.
5	1	1	Natuurlijk	Cirkel	ZeD	LGr-Br	ReZaLo Z	Bio, HK		Bleek na onderzoek natuurlijk te zijn.
6	1	1	Natuurlijk	Cirkel	ZeD	LBr-Gl	ReZaLo Z	Bio, HK	Ceramiek	Bleek na onderzoek natuurlijk te zijn.
7	1	1	Natuurlijk	Ovaal	ZeD	LGI-Gr en LGI-Br vl.	ReZaLo Z	Bio, HK	Ceramiek	Bleek na onderzoek natuurlijk te zijn.
8	1	1	Ploegsporen	Langwerpig	Var	LGr m. LBr	ReZaLo Z	Bio, BC, HK, Sintels		Deels in putwand, spoornr gegeven aan n-z georiënteerde ploegsporen
9	1	1	Ploegsporen	Langwerpig	Var	DGr-Wt m. DBr-Gr	ReZaLo Z	Bio, Sintels, HK, BC		Deels in putwand, spoornr gegeven aan alle o-w georiënteerde ploegsporen
10	1	1	Natuurlijk	Ovaal	ZeD	LGI-Br	ReZaLo Z	Bio, HK	Ceramiek	Bleek na onderzoek natuurlijk te zijn.
11	1	1	Natuurlijk	Cirkel	ZeD	LGI-Br	ReZaLo Z	Bio, HK		Bleek na onderzoek natuurlijk te zijn.
12	1	1	Natuurlijk	Cirkel	ZeD	LGI-Br	ReZaLo Z	Bio, HK		Bleek na onderzoek natuurlijk te zijn.
13	1	1	Natuurlijk	Ovaal	ZeD	DBr-Br	ReZaLo Z	Bio, HK		Bleek na onderzoek natuurlijk te zijn.
14	1	1	Kuil	Ovaal	ZeD	DBr en Gl vl.	ReZaLo Z	Bio, HK		
15	1	1	Ploegsporen	Langwerpig	ReS	LGr vl.	ReZaLo Z	Bio, HK, BC, Sintels		Deels in putwand, spoornr gegeven aan alle no-zw georiënteerd ploegsporen
16	1	1	Natuurlijk	Ovaal	ZeD	DBr-Gl vl.	ReZaLo Z	Bio, HK		Bleek na onderzoek natuurlijk te zijn.
17	1	1	Natuurlijk	Ovaal	ZeD	LGr-Br	ReZaLo Z	Bio, HK		Bleek na onderzoek natuurlijk te zijn.
18	1	1	Crematiegraf	Niet zichtbaar	Natl	LGI-Br	ReZaLo Z	Bio, HK	Ceramiek, Faunaresten	geen spoor zichtbaar, onderkant potje met klein beetje crematie
19	1	1	Natuurlijk	Cirkel	ZeD	LGr-Br	ReZaLo Z	Bio, HK	Ceramiek	Bleek na onderzoek natuurlijk te zijn.
20	2	1	Kuil	Ovaal	ReD	DGr-Br	ReZaLo Z	Bio, HK		
21	1	1	Kuil	Cirkel	ZeD	LGr-Br	ReZaLo Z	Bio, HK		
22	2	1	Kuil	Ovaal	ZeD	DGr-Br	ReZaLo Z	Bio, HK		
23	2	1	Natuurlijk	Cirkel	ReS	LGr	ReZaLo Z	Bio, HK		Bleek na onderzoek natuurlijk te zijn.

De archeologische begeleiding langs de Peerderbaan te Neerpelt

24	2	1	Natuurlijk	Ovaal	ReS	LGr	ReZaLo Z	Bio, HK		Bleek na onderzoek natuurlijk te zijn.
25	2	1	Natuurlijk	Cirkel	ReS	LGr	ReZaLo Z	Bio, HK		Bleek na onderzoek natuurlijk te zijn.
26	2	1	Kuil	Ovaal	ReD	LBr m. DBr-Gr	ReZaLo Z	Bio, HK	Ceramiek	
27	2	1	Kuil	Cirkel	ZeD	LGr m. DGr	ReZaLo Z	Bio, HK		
28	2	1	Natuurlijk	Rechthoekig	ReD	LBr-Gr	ReZaLo Z	Bio, HK		Bleek na onderzoek natuurlijk te zijn.
29	2	1	Kuil	Onregelmatig	ZeD	DBr-Br m. LGr	ReZaLo Z	Bio, HK		
30	2	1	Natuurlijk	Cirkel	Var	LBr-Gl m. LBr-Gr en DGr-Zw vl.	ReZaLo Z	Bio, HK		Bleek na onderzoek natuurlijk te zijn.
31	2	1	Kuil	Cirkel	ZeD	LGr m. DGr	ReZaLo Z	Bio, HK		
32	2	1	Natuurlijk	Onregelmatig	ZeD	LBr-Gr	ReZaLo Z	Bio, HK	Ceramiek	doorsneden door greppel/ploegspoor, Bleek na onderzoek natuurlijk te zijn.
33	2	1	Natuurlijk	Ovaal	ZeD	Br-Gr	ReZaLo Z	Bio, HK		Bleek na onderzoek natuurlijk te zijn.
34	2	1	Paalkuil	Onregelmatig	ZeD	LGr	ReZaLo Z	Bio, HK		doorsneden door boomstronk
35	2	1	Natuurlijk	Cirkel	ZeD	LBr-Gl	ReZaLo Z	Bio, HK		Bleek na onderzoek natuurlijk te zijn.
36	2	1	Paalkuil	Cirkel	ZeD	LBr-Gr	ReZaLo Z	Bio, HK		
37	2	1	Paalkuil	Cirkel	ZeD	LBr-Gr	ReZaLo Z	Bio, HK		
38	2	1	Paalkuil	Cirkel	ReD	DGr-Zw m. LGr	ReZaLo Z	Bio, HK		
39	2	1	Kuil	Ovaal	ReD	LGr m. DGr-Zw en LBr vl.	ReZaLo Z	Bio, HK		
40	2	1	Kuil	Ovaal	ZeD	LBr-Gr en LGr-Gr vl.	ReZaLo Z	Bio, HK		Recent, omgeduwde boom
41	2	1	Paalkuil	Ovaal	ReD	DGr-Br m. DBr-Gl en DGr-Zw vl.	ReZaLo Z	Bio, HK		
42	2	1	Natuurlijk	Ovaal	ZeD	LGr-Gl m. LGr	ReZaLo Z	Bio, HK	Ceramiek	Bleek na onderzoek natuurlijk te zijn.
43	2	1	Natuurlijk	Ovaal	ZeD	LGr-Br	ReZaLo Z	Bio, HK	Ceramiek	Bleek na onderzoek natuurlijk te zijn.
44	2	1	Natuurlijk	Onregelmatig	ReD	LGr m. Gr en Gl vl.	ReZaLo Z	Bio, HK	Ceramiek	doorsneden door een recente verstoring, lv 8 zit in dit spoor, Bleek na onderzoek natuurlijk te zijn.
45	2	1	Paalkuil	Ovaal	ZeD	LGr-Br	ReZaLo Z	Bio, HK		
46	2	1	Kuil	Ovaal	ZeD	DGr m. LGr-Br en DGr-Zw vl.	ReZaLo Z	Bio, HK		
47	2	1	Kuil	Cirkel	ZeD	DGr-Zw	ReZaLo Z	Bio, HK		
48	2	1	Natuurlijk	Ovaal	ZeD	DGr-Zw	ReZaLo Z	Bio, HK		Bleek na onderzoek natuurlijk te zijn.
49	2	1	Natuurlijk	Cirkel	ZeD	LGr-Br	ReZaLo Z	Bio, HK	Ceramiek	Bleek na onderzoek natuurlijk te zijn.
50	2	1	Natuurlijk	Ovaal	ZeD	LBr-Br	ReZaLo Z	Bio, HK, VL		Bleek na onderzoek natuurlijk te zijn.
51	2	1	Natuurlijk	Cirkel	ZeD	LGr-Br	ReZaLo Z	Bio, HK		Bleek na onderzoek natuurlijk te zijn.

52	2	1	Natuurlijk	Onregelmatig	ZeD	LGr-Br	ReZaLo Z	Bio, HK		Bleek na onderzoek natuurlijk te zijn.
53	3	1	Natuurlijk	Ovaal	ZeD	LGr-Br	ReZaLo Z	Bio, HK		Bleek na onderzoek natuurlijk te zijn.
54	3	1	Natuurlijk	Cirkel	ZeD	LGr-Wt	ReZaLo Z	Bio, HK		Bleek na onderzoek natuurlijk te zijn.
55	3	1	Natuurlijk	Cirkel	ZeD	DBr-Br	ReZaLo Z	Bio, Mg, HK		Bleek na onderzoek natuurlijk te zijn.
56	3	1	Natuurlijk	Cirkel	ZeD	DBr-Br	ReZaLo Z	Bio, Mg, HK		Bleek na onderzoek natuurlijk te zijn.
57	3	1	Natuurlijk	Ovaal	ZeD	DBr-Br	ReZaLo Z	Bio, Mg, HK		Bleek na onderzoek natuurlijk te zijn.
58	3	1	Natuurlijk	Cirkel	ZeD	DBr-Br	ReZaLo Z	Bio, Mg, HK		Bleek na onderzoek natuurlijk te zijn.
59	3	1	Natuurlijk	Cirkel	ZeD	DBr-Br	ReZaLo Z	Bio, Mg, HK		Bleek na onderzoek natuurlijk te zijn.
60	3	1	Natuurlijk	Cirkel	ZeD	DBr-Br	ReZaLo Z	Bio, Mg, HK		Bleek na onderzoek natuurlijk te zijn.
61	3	1	Natuurlijk	Cirkel	ZeD	DBr-Br	ReZaLo Z	Bio, Mg, HK		Bleek na onderzoek natuurlijk te zijn.
62	3	1	Natuurlijk	Cirkel	ZeD	DBr-Br	ReZaLo Z	Bio, Mg, HK		Bleek na onderzoek natuurlijk te zijn.
63	3	1	Natuurlijk	Ovaal	ZeD	LGr-Br	ReZaLo Z	Bio, HK		Bleek na onderzoek natuurlijk te zijn.
64	3	1	Natuurlijk	Ovaal	ReD	DBr-Gr	ReZaLo Z	Bio, HK	Geen	Bleek na onderzoek natuurlijk te zijn.
65	3	1	Kuil	Cirkel	Var	DGr m. Gr-Br vl.	ReZaLo Z	Bio, HK	Geen	
66	3	1	Natuurlijk	Cirkel	ZeD	LBr-Gr	ReZaLo Z	Bio, HK	Ceramiek	Bleek na onderzoek natuurlijk te zijn.
67	3	1	Natuurlijk	Onregelmatig	ZeD	DGr-Br en LGr- Zw vl.	ReZaLo Z	Bio, HK		Bleek na onderzoek natuurlijk te zijn.
68	4	1	Natuurlijk	Cirkel	ZeD	Gr-Br m. DGr sp.	ReZaLo Z	Bio, HK	Geen	Bleek na onderzoek natuurlijk te zijn.
69	4	1	Natuurlijk	Cirkel	ZeD	Gr-Br m. DGr sp.	ReZaLo Z	Bio, HK	Geen	Bleek na onderzoek natuurlijk te zijn.
70	4	1	Natuurlijk	Onregelmatig	ReS	DBr en DBr-Gr vl.	ReZaLo Z	Bio, HK	Geen	Bleek na onderzoek natuurlijk te zijn.
71	4	1	Greppel	Langwerpig	ZeS	DBr-Gr	ReZaLo Z	Bio, Bosgrond, HK, Sintels		Deels in putwand, plant/afwateringsgreppels die in het bos nog zichtbaar zijn.

Afkortingen:

Kleur:		Aflijning:		Textuur:		Bijmenging:	
L-	Licht	Re	Redelijk	Re	Redelijk	Bio	Bioturbatie
D-	Donker	Ze	Zeer	Ze	Zeer	BC	Bouwceramiek
Br	Bruin	S	Scherp	Za	Zacht	HK	Houtskool
Gl	Geel	D	Diffuus	Lo	Los		
Gr	Grijs	Var	Variabel	Z	Zand		
Rd	Rood	Natl	Niet af te lijnen				
Wt	Wit						
Zw	Zwart						
m	met						
vl	vlekken						

Bijlage 2 Vondsteninventaris

Inventarisnummer	Spoornummer	Werkput	Aard	Datering
2012-148-LV1-Ce	LV1	1	Ceramik	IJertijd
2012-148-LV2-Ce	LV2	2	Ceramik	IJertijd
2012-148-LV3-Ce	LV3	2	Ceramik	Romeins
2012-148-LV4-Gl	LV4	2	Glas	Romeins
2012-148-LV5-Ce	LV5	2	Ceramik	
2012-148-LV6-Ce	LV6	2	Ceramik	
2012-148-LV7-Ce	LV7	2	Ceramik	Romeins
2012-148-LV8-Ce	LV8	2	Ceramik	Romeins
2012-148-LV9-Ce	LV9	2	Ceramik	Romeins
2012-148-LV10-Ce	LV10	2	Ceramik	
2012-148-LV11-Ce	LV11	2	Ceramik	Romeins
2012-148-LV13-Ce	LV13	2	Ceramik	
2012-148-LV14-Ce	LV14	2	Ceramik	Romeins
2012-148-LV15-Ce	LV15	2	Ceramik	IJertijd
2012-148-LV16-Ce	LV16	2	Ceramik	
2012-148-LV17-Ce	LV17	2	Ceramik	Romeins
2012-148-LV18-Ce	LV18	2	Ceramik	Romeins
2012-148-LV19-Ce	LV19	2	Ceramik	Romeins
2012-148-LV20-Bo	LV20	2	Bouwmateriaal	Romeins
2012-148-LV20-Ce	LV20	2	Ceramik	Romeins
2012-148-LV21-Ce	LV21	2	Ceramik	Romeins
2012-148-LV22-Ce	LV22	2	Ceramik	Romeins
2012-148-LV23-Ce	LV23	3	Ceramik	Romeins
2012-148-LV24-Ce	LV24	3	Ceramik	
2012-148-LV25-Ce	LV25	3	Ceramik	Romeins
2012-148-LV26-Ce	LV26	3	Ceramik	IJertijd
2012-148-LV27-Si	LV27	3	Silex	Steentijd
2012-148-LV28-Ce	LV28	4	Ceramik	IJertijd
2012-148-LV29-Ce	LV29	4	Ceramik	IJertijd
2012-148-LV30-Si	LV30	4	Silex	Steentijd
2012-148-S2-Ce	2	1	Ceramik	IJertijd
2012-148-S4-Ce	4	1	Ceramik	IJertijd
2012-148-S6-Ce	6	1	Ceramik	IJertijd
2012-148-S7-Ce	7	1	Ceramik	IJertijd
2012-148-S10-Ce	10	1	Ceramik	IJertijd
2012-148-S18-Ce	18	1	Ceramik	IJertijd
2012-148-S18-Fa	18	1	Faunaresten	
2012-148-S18-St	18	1	Zeefstaal	
2012-148-S19-Ce	19	1	Ceramik	IJertijd
2012-148-S26-Ce	26	2	Ceramik	IJertijd
2012-148-S32-Ce	32	2	Ceramik	IJertijd
2012-148-S34-Me	34	2	Metaal	
2012-148-S38-St	38	2	Houtskoolstaal	
2012-148-S42-Ce	42	2	Ceramik	Romeins
2012-148-S43-Ce	43	2	Ceramik	Romeins

2012-148-S44-Ce	44	2	Ceramiek	Romeins
2012-148-S49-Ce	49	2	Ceramiek	Romeins
2012-148-S66-Ce	66	3	Ceramiek	Romeins

Bijlage 3 Fotoinventaris

Inv. Nr.	WP	Spoor	Aard
2012-148-001	1		Overzicht
2012-148-002	1		Overzicht
2012-148-003	1		Overzicht
2012-148-004	1		Overzicht
2012-148-005	1		Overzicht
2012-148-006	1		Overzicht
2012-148-007	1		Overzicht
2012-148-008	1		Overzicht
2012-148-009	1		Overzicht
2012-148-010	2		Overzicht
2012-148-011	2		Overzicht
2012-148-012	2		Overzicht
2012-148-013	2		Overzicht
2012-148-014	2		Overzicht
2012-148-015	2		Overzicht
2012-148-016	2		Overzicht
2012-148-017	2		Overzicht
2012-148-018	2		Overzicht
2012-148-019	2		Overzicht
2012-148-020	2		Overzicht
2012-148-021	2		Overzicht
2012-148-022	2		Overzicht
2012-148-023	2		Overzicht
2012-148-024	2		Overzicht
2012-148-025	2		Overzicht
2012-148-026	2		Overzicht
2012-148-027	2		Overzicht
2012-148-028	2		Overzicht
2012-148-029	2		Overzicht
2012-148-030	2		Overzicht
2012-148-031	2		Overzicht
2012-148-032	2		Overzicht
2012-148-033	2		Overzicht
2012-148-034	2		Overzicht
2012-148-035	2		Overzicht
2012-148-036	2		Overzicht
2012-148-037	2		Overzicht
2012-148-038	2		Overzicht

2012-148-039	2		Overzicht
2012-148-040	2		Overzicht
2012-148-041	2		Overzicht
2012-148-042	2		Overzicht
2012-148-043	2		Overzicht
2012-148-044	2		Overzicht
2012-148-045	2		Overzicht
2012-148-046	2		Overzicht
2012-148-047	2		Overzicht
2012-148-048	2		Overzicht
2012-148-049	3		Overzicht
2012-148-050	3		Overzicht
2012-148-051	3		Overzicht
2012-148-052	3		Overzicht
2012-148-053	3		Overzicht
2012-148-054	3		Overzicht
2012-148-055	3		Overzicht
2012-148-056	3		Overzicht
2012-148-057	3		Overzicht
2012-148-058	3		Overzicht
2012-148-059	3		Overzicht
2012-148-060	3		Overzicht
2012-148-061	3		Overzicht
2012-148-062	3		Overzicht
2012-148-063	3		Overzicht
2012-148-064	3		Overzicht
2012-148-065	3		Overzicht
2012-148-066	3		Overzicht
2012-148-067	3		Overzicht
2012-148-068	3		Overzicht
2012-148-069	3		Overzicht
2012-148-070	3		Overzicht
2012-148-071	3		Overzicht
2012-148-072	3		Overzicht
2012-148-073	3		Overzicht
2012-148-074	3		Overzicht
2012-148-075	3		Overzicht
2012-148-076	3		Overzicht
2012-148-077	3		Overzicht

2012-148-078	3		Overzicht
2012-148-079	4		Overzicht
2012-148-080	4		Overzicht
2012-148-081	4		Overzicht
2012-148-082	4		Overzicht
2012-148-083	4		Overzicht
2012-148-084	4		Overzicht
2012-148-085	4		Overzicht
2012-148-086	4		Overzicht
2012-148-087	4		Overzicht
2012-148-088	4		Overzicht
2012-148-089	4		Overzicht
2012-148-090	4		Overzicht
2012-148-091	4		Overzicht
2012-148-092	4		Overzicht
2012-148-093	1	1	Vlak
2012-148-094	1	2	Vlak
2012-148-095	1	8	Vlak
2012-148-096	1	9	Vlak
2012-148-097	1	3	Vlak
2012-148-098	1	4	Vlak
2012-148-099	1	5	Vlak
2012-148-100	1	6	Vlak
2012-148-101	1	7	Vlak
2012-148-102	1	10	Vlak
2012-148-103	1	11	Vlak
2012-148-104	1	12	Vlak
2012-148-105	1	13	Vlak
2012-148-106	1	14	Vlak
2012-148-107	1	15	Vlak
2012-148-108	1	16	Vlak
2012-148-109	1	17	Vlak
2012-148-110	1	18	Vlak
2012-148-111	1	18	Vlak
2012-148-112	1	18	Vlak
2012-148-113	1	19	Vlak
2012-148-114	2	20	Vlak
2012-148-115	2	22	Vlak
2012-148-116	2	23	Vlak
2012-148-117	2	24	Vlak
2012-148-118	2	25	Vlak

2012-148-119	2	26	Vlak
2012-148-120	2	27	Vlak
2012-148-121	2	27	Vlak
2012-148-122	2	28	Vlak
2012-148-123	2	28	Vlak
2012-148-124	2	29	Vlak
2012-148-125	2	29	Vlak
2012-148-126	2	30	Vlak
2012-148-127	2	30	Vlak
2012-148-128	2	32	Vlak
2012-148-129	2	32	Vlak
2012-148-130	2	31	Vlak
2012-148-131	2	31	Vlak
2012-148-132	2	33	Vlak
2012-148-133	2	34	Vlak
2012-148-134	2	35	Vlak
2012-148-135	2	36	Vlak
2012-148-136	2	37	Vlak
2012-148-137	2	38	Vlak
2012-148-138	2	39	Vlak
2012-148-139	2	40	Vlak
2012-148-140	2	42	Vlak
2012-148-141	2	42	Vlak
2012-148-142	2	42	Vlak
2012-148-143	2	42	Vlak
2012-148-144	2	43	Vlak
2012-148-145	2	43	Vlak
2012-148-146	2	44	Vlak
2012-148-147	2	44	Vlak
2012-148-148	2	45	Vlak
2012-148-149	2	46	Vlak
2012-148-150	2	47	Vlak
2012-148-151	2	48	Vlak
2012-148-152	2	49	Vlak
2012-148-153	2	50	Vlak
2012-148-154	2	50	Vlak
2012-148-155	2	52, 51	Vlak
2012-148-156	2	52, 51	Vlak
2012-148-157	3	53	Vlak
2012-148-158	3	54	Vlak
2012-148-159	3	54	Vlak

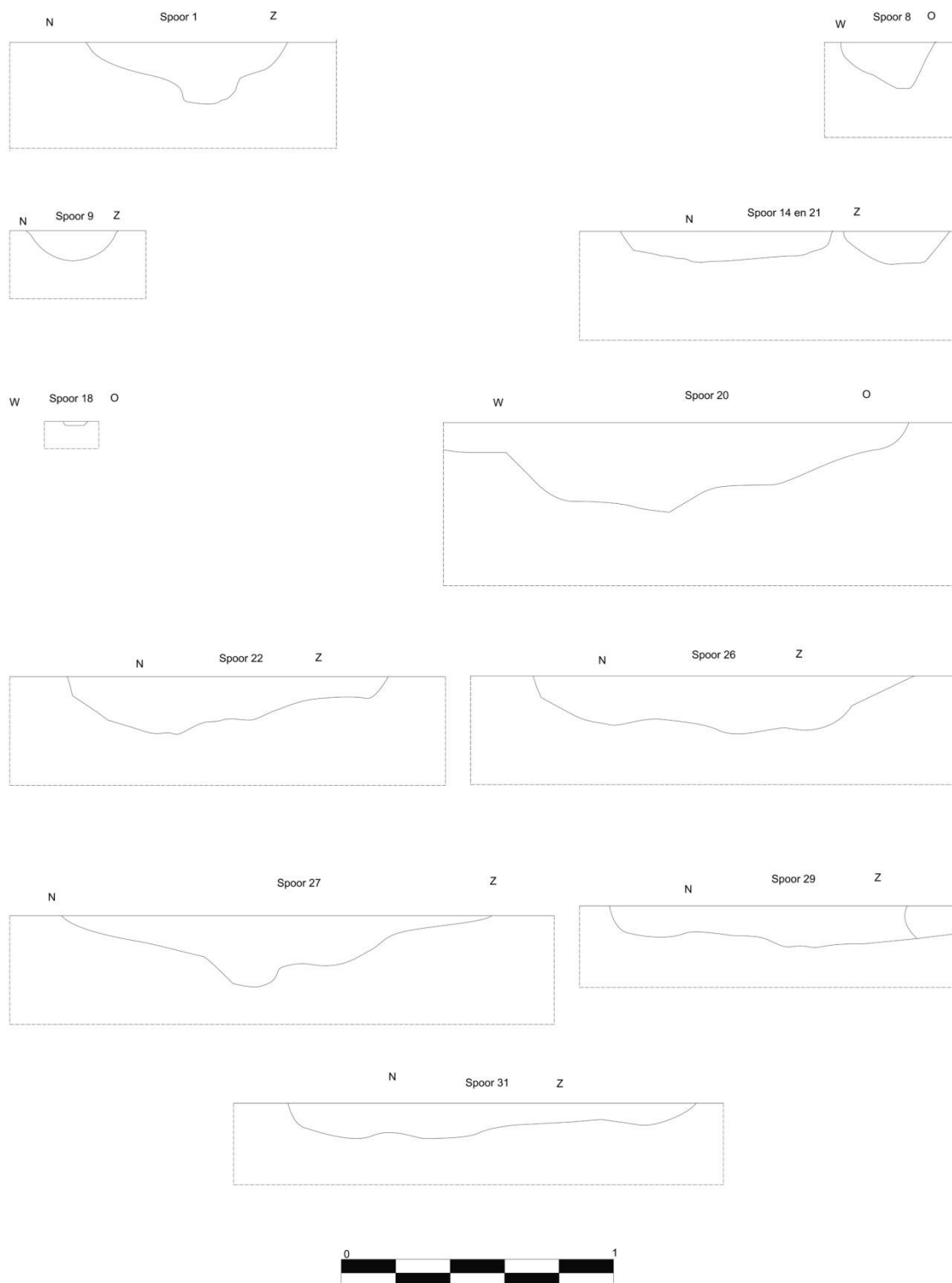
2012-148-160	3	54	Vlak
2012-148-161	3	54	Vlak
2012-148-162	3	55	Vlak
2012-148-163	3	56	Vlak
2012-148-164	3	57	Vlak
2012-148-165	3	58	Vlak
2012-148-166	3	58	Vlak
2012-148-167	3	59	Vlak
2012-148-168	3	60	Vlak
2012-148-169	3	61	Vlak
2012-148-170	3	62	Vlak
2012-148-171	3	15	Vlak
2012-148-172	3	15	Vlak
2012-148-173	3	63	Vlak
2012-148-174	3	63	Vlak
2012-148-175	3	64	Vlak
2012-148-176	3	65	Vlak
2012-148-177	3	66	Vlak
2012-148-178	3	67	Vlak
2012-148-179	3	67	Vlak
2012-148-180	4	68	Vlak
2012-148-181	4	68	Vlak
2012-148-182	4	69	Vlak
2012-148-183	4	69	Vlak
2012-148-184	4	70	Vlak
2012-148-185	4	70	Vlak
2012-148-186	4		Vlak
2012-148-187	4		Vlak
2012-148-188	4		Vlak
2012-148-189	4		Vlak
2012-148-190	1	1	Coupe
2012-148-191	1	1	Coupe
2012-148-192	1	9	Coupe
2012-148-193	1	9	Coupe
2012-148-194	1	4	Coupe
2012-148-195	1	4	Coupe
2012-148-196	1	5	Coupe
2012-148-197	1	5	Coupe
2012-148-198	1	8	Coupe
2012-148-199	1	8	Coupe
2012-148-200	1	4	Coupe

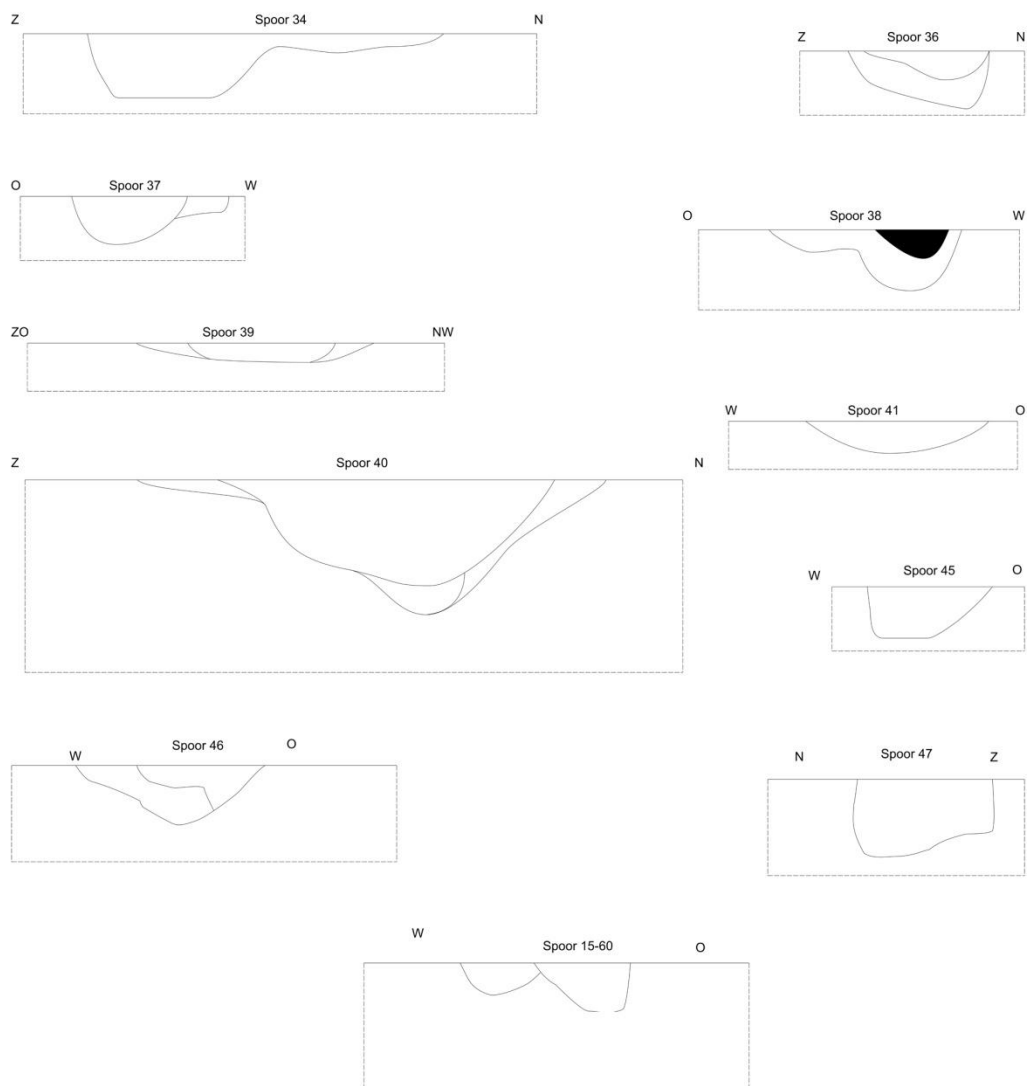
2012-148-201	1	5	Coupe
2012-148-202	1	6	Coupe
2012-148-203	1	6	Coupe
2012-148-204	1	11	Coupe
2012-148-205	1	11	Coupe
2012-148-206	1	12	Coupe
2012-148-207	1	12	Coupe
2012-148-208	1	13	Coupe
2012-148-209	1	13	Coupe
2012-148-210	1	14	Coupe
2012-148-211	1	14	Coupe
2012-148-212	1	14	Coupe
2012-148-213	1	14	Coupe
2012-148-214	1	17	Coupe
2012-148-215	1	17	Coupe
2012-148-216	1	18	Coupe
2012-148-217	1	18	Coupe
2012-148-218	1	18	Coupe
2012-148-219	1	19	Coupe
2012-148-220	1	19	Coupe
2012-148-221	1	19	Coupe
2012-148-222	1	22	Coupe
2012-148-223	1	22	Coupe
2012-148-224	1	20	Coupe
2012-148-225	1	20	Coupe
2012-148-226	1	24	Coupe
2012-148-227	1	23	Coupe
2012-148-228	1	23	Coupe
2012-148-229	1	25	Coupe
2012-148-230	1	25	Coupe
2012-148-231	1	26	Coupe
2012-148-232	1	26	Coupe
2012-148-233	1	27	Coupe
2012-148-234	1	27	Coupe
2012-148-235	1	31	Coupe
2012-148-236	1	31	Coupe
2012-148-237	1	28	Coupe
2012-148-238	1	28	Coupe
2012-148-239	1	28	Coupe
2012-148-240	1	28	Coupe
2012-148-241	1	32	Coupe

2012-148-242	1	32	Coupe
2012-148-243	1	32	Coupe
2012-148-244	1	32	Coupe
2012-148-245	1	33	Coupe
2012-148-246	1	33	Coupe
2012-148-247	1	33	Coupe
2012-148-248	1	34	Coupe
2012-148-249	1	34	Coupe
2012-148-250	1	34	Coupe
2012-148-251	1	34	Coupe
2012-148-252	1	28	Coupe
2012-148-253	1	28	Coupe
2012-148-254	1	28	Coupe
2012-148-255	1	28	Coupe
2012-148-256	1	35	Coupe
2012-148-257	1	35	Coupe
2012-148-258	1	35	Coupe
2012-148-259	1	36	Coupe
2012-148-260	1	36	Coupe
2012-148-261	1	36	Coupe
2012-148-262	1	36	Coupe
2012-148-263	1	37	Coupe
2012-148-264	1	37	Coupe
2012-148-265	1	37	Coupe
2012-148-266	1	37	Coupe
2012-148-267	1	38	Coupe
2012-148-268	1	38	Coupe
2012-148-269	1	38	Coupe
2012-148-270	1	38	Coupe
2012-148-271	1	39	Coupe
2012-148-272	1	39	Coupe
2012-148-273	1	39	Coupe
2012-148-274	1	39	Coupe
2012-148-275	1	40	Coupe
2012-148-276	1	40	Coupe
2012-148-277	1	40	Coupe
2012-148-278	1	40	Coupe
2012-148-279	1	40	Coupe
2012-148-280	1	41	Coupe
2012-148-281	1	41	Coupe
2012-148-282	1	41	Coupe

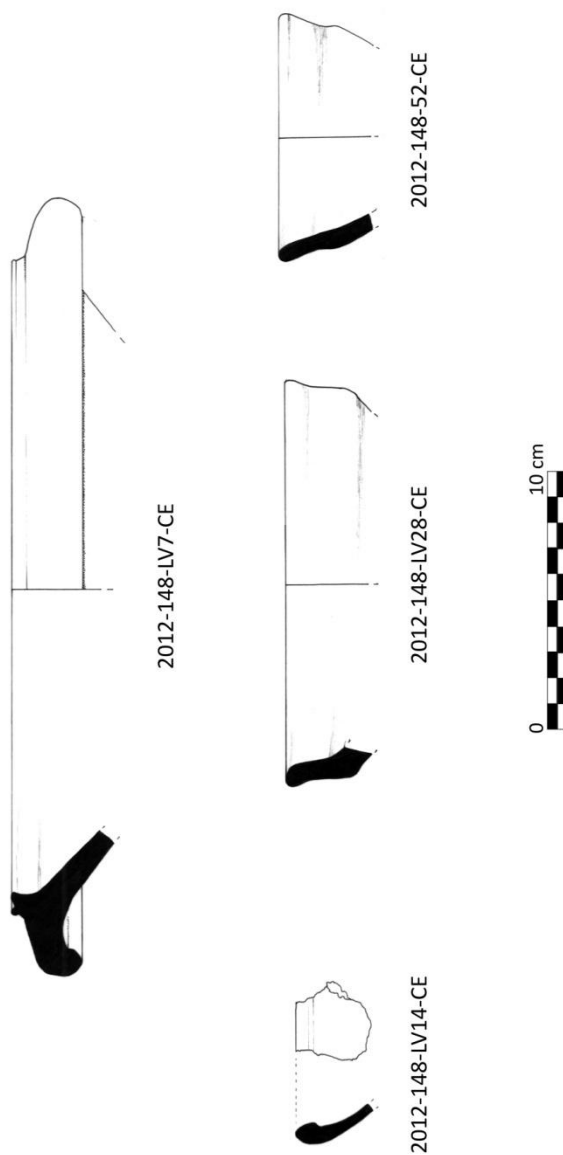
2012-148-283	1	41	Coupe
2012-148-284	1	42	Coupe
2012-148-285	2	42	Coupe
2012-148-286	2	43	Coupe
2012-148-287	2	43	Coupe
2012-148-288	2	44	Coupe
2012-148-289	2	44	Coupe
2012-148-290	2	45	Coupe
2012-148-291	2	45	Coupe
2012-148-292	2	46	Coupe
2012-148-293	2	46	Coupe
2012-148-294	2	47	Coupe
2012-148-295	2	47	Coupe
2012-148-296	2	48	Coupe
2012-148-297	2	48	Coupe
2012-148-298	3	55	Coupe
2012-148-299	3	55	Coupe
2012-148-300	3	55	Coupe
2012-148-301	3	56	Coupe
2012-148-302	3	56	Coupe
2012-148-303	3	57	Coupe
2012-148-304	3	57	Coupe
2012-148-305	3	58	Coupe
2012-148-306	3	58	Coupe
2012-148-307	3	58	Coupe
2012-148-308	3	58	Coupe
2012-148-309	3	59	Coupe
2012-148-310	3	59	Coupe
2012-148-311	3	15, 60	Coupe
2012-148-312	3	15, 60	Coupe
2012-148-313	3	15, 60	Coupe
2012-148-314	3	61	Coupe
2012-148-315	3	61	Coupe
2012-148-316	3	62	Coupe
2012-148-317	3	62	Coupe
2012-148-318	3	64	Coupe
2012-148-319	3	64	Coupe
2012-148-320	3	64	Coupe
2012-148-321	3	65	Coupe
2012-148-322	3	65	Coupe

Bijlage 4 Profieltekeningen





Bijlage 5 Tekeningen van de vondsten





0 5cm.

Bijlage 6 Profielbeschrijving

A. Referentieprofiel

1. Algemene gegevens

- | | |
|-------------------------------|--|
| 1. Beschrijver : | Ludo Fockedeey, Studiebureau Archeologie. |
| 2. Soort onderzoek : | Archeologisch : proefsleuven. |
| 3. Plaats : | Neerpelt - Peerderbaan. |
| 4. Hoogteligging : | 53 m TAW. |
| 5. Coördinaten : | 51°12'9.87"N ; 5°28'2.87"E. |
| 6. Datum : | Maandag, 16.04.2012. |
| 7. Tijdstip : | 09:08 u. |
| 8. Landgebruik en vegetatie : | rand van weg en bos: sparren, struiken. |
| 9. Weersomstandigheden : | Bewolkt tot zonnig, 9°C. |
| 10. Oriëntatie : | W en N. |
| 11. Bodemeenheid : | Zbf: droge zandgronden met weinig duidelijke humus en/of ijzer B horizont. |

2. Profielbeschrijving

H1

0-44 cm: Ap: zand; geelachtig donkerbruin (10YR 3,5/4); massief, korrelig; veel boomwortels; zeer heterogeen (veel brokken met zand en À horizont); scherpe, rechte ondergrens.

H2

44-60 cm: Bh: zand; geelachtig bruin (10YR 5/6); loskorrelig; weinig boomwortels; enkele ovale bioturbaties; diffuse zwak golvende ondergrens.

H3

60-95/102 cm: IC: zand; geelachtig lichtbruin (10YR 6/4); loskorrelig; een enkele boomwortel; enkele brokken (3%) samengepakt; scherpe grens met omliggende matrix; zand; hard; geelachtig bruin (10YR 5/8); scherpe, golvende overgang.

H4

95/102-110/120: Bir; zand; geelachtig bruin (10YR 5/8); massief; scherpe grens met omliggende matrix; discontinu; bioturbaties (niet actief), verticaal en rond verspreid (5%); rechte, overgang.

H5

110-120 cm: discontinue keienlaag.

H6

110/120-140/148 cm: IIC: zand; olijfgel (2,5Y 6/7); massief; bioturbaties (niet actief), verticaal en rond verspreid (5%); rechte, golvende overgang.

H7

> 140/148 cm: grof zand; lichtgrijs (10YR 7/1); loskorrelig; behorend tot cryoturbatiesporen.

G(rond)W(ater)T(afel) : cm.

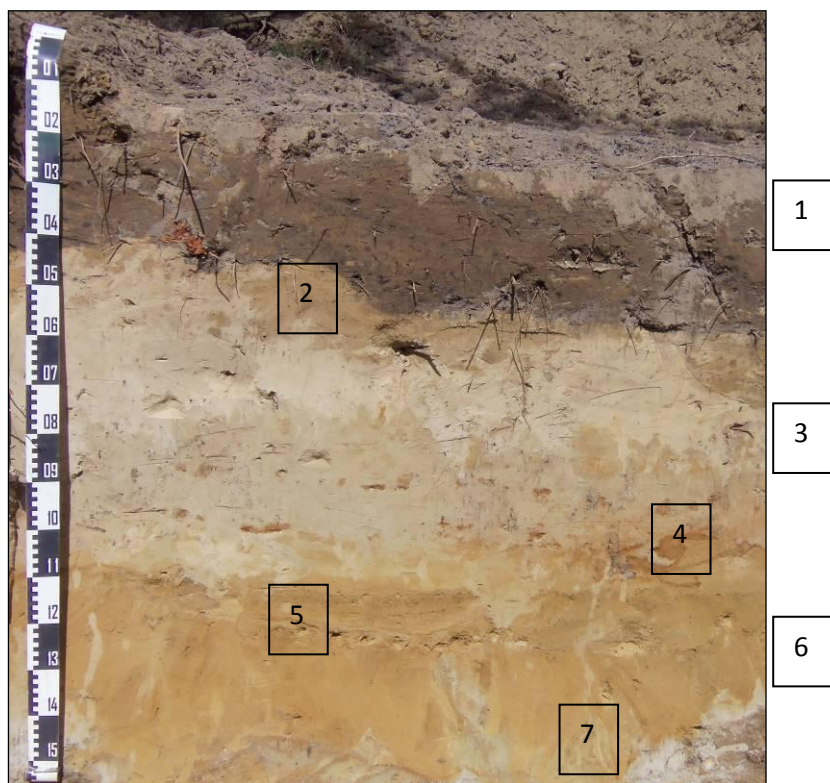
Opmerking : -

3. Foto's

3.1 Foto van het westprofiel



3.2 Foto van het noordprofiel



4. Opmerkingen en bijzonderheden

Op beide foto's is een grijzere kleur te zien tussen 80 en 100 cm. Dit omdat het bovenliggende zand uitgedroogd is. Op het veld werd het getest door wat zand tussen 60 en 80 cm te verwijderen waarbij al gauw dezelfde kleur verscheen. Op het vochtig zand werd de kleur gemeten. Dus geen aparte horizont.

5. Verwijzingen

1. Bodemkundige aspecten van het proefsleuvenonderzoek (Neerpelt - Peerderbaan).

B. Bosprofiel

1. Algemene gegevens

- | | |
|-------------------------------|--|
| 1. Beschrijver : | Ludo Fockedey, Studiebureau Archeologie. |
| 2. Soort onderzoek : | Archeologisch : proefsleuven. |
| 3. Plaats : | Neerpelt - Peerderbaan. |
| 4. Hoogteligging : | 53 m TAW. |
| 5. Coördinaten : | 51°12'9.70"N; 5°28'2.32"O. |
| 6. Datum : | Maandag, 16.04.2012. |
| 7. Tijdstip : | 13:25 u. |
| 8. Landgebruik en vegetatie : | rand van weg en bos: sparren, struiken. |
| 9. Weersomstandigheden : | Bewolkt tot zonnig, 9°C. |
| 10. Oriëntatie : | W. |
| 11. Bodemeenheid : | Zbf: droge zandgronden met weinig duidelijke humus en/of ijzer B horizont. |

2. Foto



C. Begraven profiel

1. Algemene gegevens

- | | |
|-------------------------------|--|
| 1. Beschrijver : | Ludo Fockedeey, Studie bureau Archeologie. |
| 2. Soort onderzoek : | Archeologisch : proefsleuven. |
| 3. Plaats : | Neerpelt - Peerderbaan. |
| 4. Hoogteligging : | 53 m TAW. |
| 5. Coördinaten : | 51°12'13.03"N ; 5°28'5.35"O. |
| 6. Datum : | Maandag, 16.04.2012. |
| 7. Tijdstip : | 13: 54 u. |
| 8. Landgebruik en vegetatie : | rand van de weg, geen. |
| 9. Weersomstandigheden : | Bewolkt tot zonnig, 9°C. |
| 10. Oriëntatie : | 0. |
| 11. Bodemeenheid : | Zbf: droge zandgronden met weinig duidelijke humus en/of ijzer B horizont. |

2. Foto



3. Opmerkingen

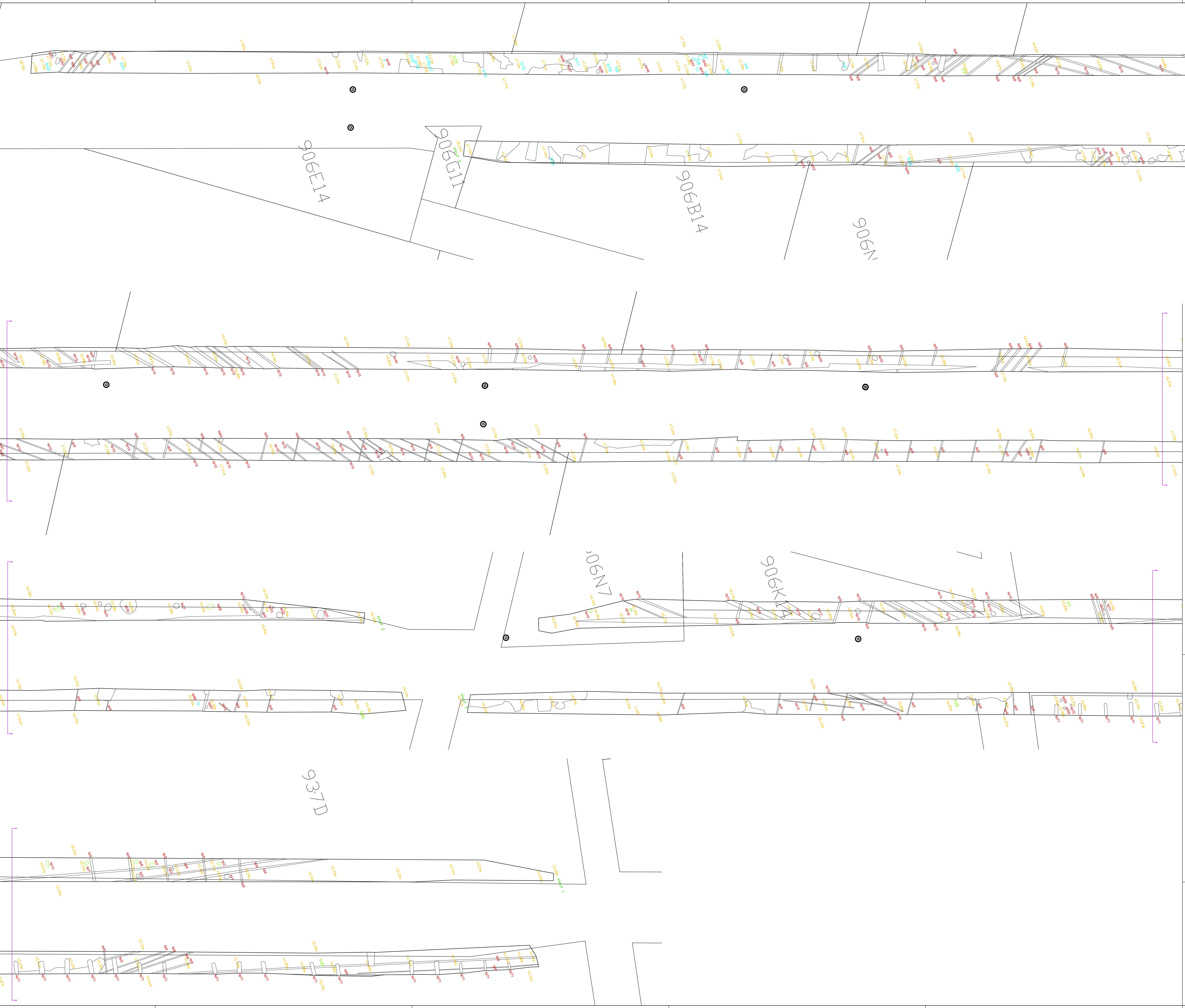
Aangeduid met (1) is een langwerpige, bleke spoor (SP8) te zien dat in het profiel loopt, onder het Podzolprofiel. Er zijn er zo drie, vermoedelijk ploegsporen die mogelijk te maken hebben met de aanleg van het bos. In ieder geval zit de podzol er boven. Is deze dan recent?

Bijlage 7 Opgravingsplan



Administratieve gegevens

Naam site:	Peerderbaan
Provincie:	Limburg
Gemeente:	Neerpelt
Deelgemeente:	Neerpelt Sint-Huibrechts-Lille
Adres:	Peerderbaan
Kadastrale gegevens:	Afdeling 2, Sectie D, openbaar domein en percelen 906n7, 906b14, 906a14, 906g11, 906g14, 906h14, 906k14, 906l14, 906m14, 906n14, 906p14, 906r14, 906s14, 906t13, 906t14, 906v14, 906y13 en 906z13 (alle partim) Afdeling 3, Sectie B, openbaar domein en percelen 937e en 937f (alle partim)
Opdrachtgevers:	Gemeente Neerpelt, Kerkplein 1, 3910 Neerpelt
Vergunningsnummer:	2012-148
Naam aanvrager:	Michiel Steenhoudt
Aanvraagdatum:	26 maart 2012



- Legende:**
- Sleuven
 - Sporen
 - Hoogtes

Ligging



De archeologische begeleiding langs de Peerderbaan te Neerpelt	
Opdrachtgever:	Gemeente Neerpelt
Uitvoering:	Studiebureau Archeologie bvba Michiel Steenhout (leidinggevend archeoloog)
Topografie:	Michiel Steenhout Raoul Creemers
Datum:	April 2012
Schaal: 1/250	1/1